

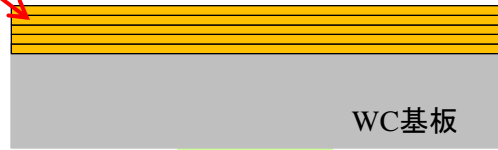
---

# **μ泥しょう鋳込み成型法を用いた SiC-Ceramics MEMS の開発**

**鋳型基板がSiCパーツ形状に及ぼす影響**

# SU-8マイクロモールド作製プロセス

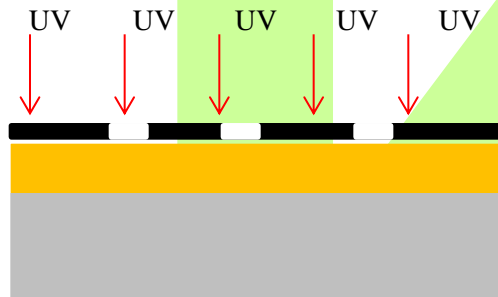
SU-8シート



SU-8シート貼り付け



プリベーク



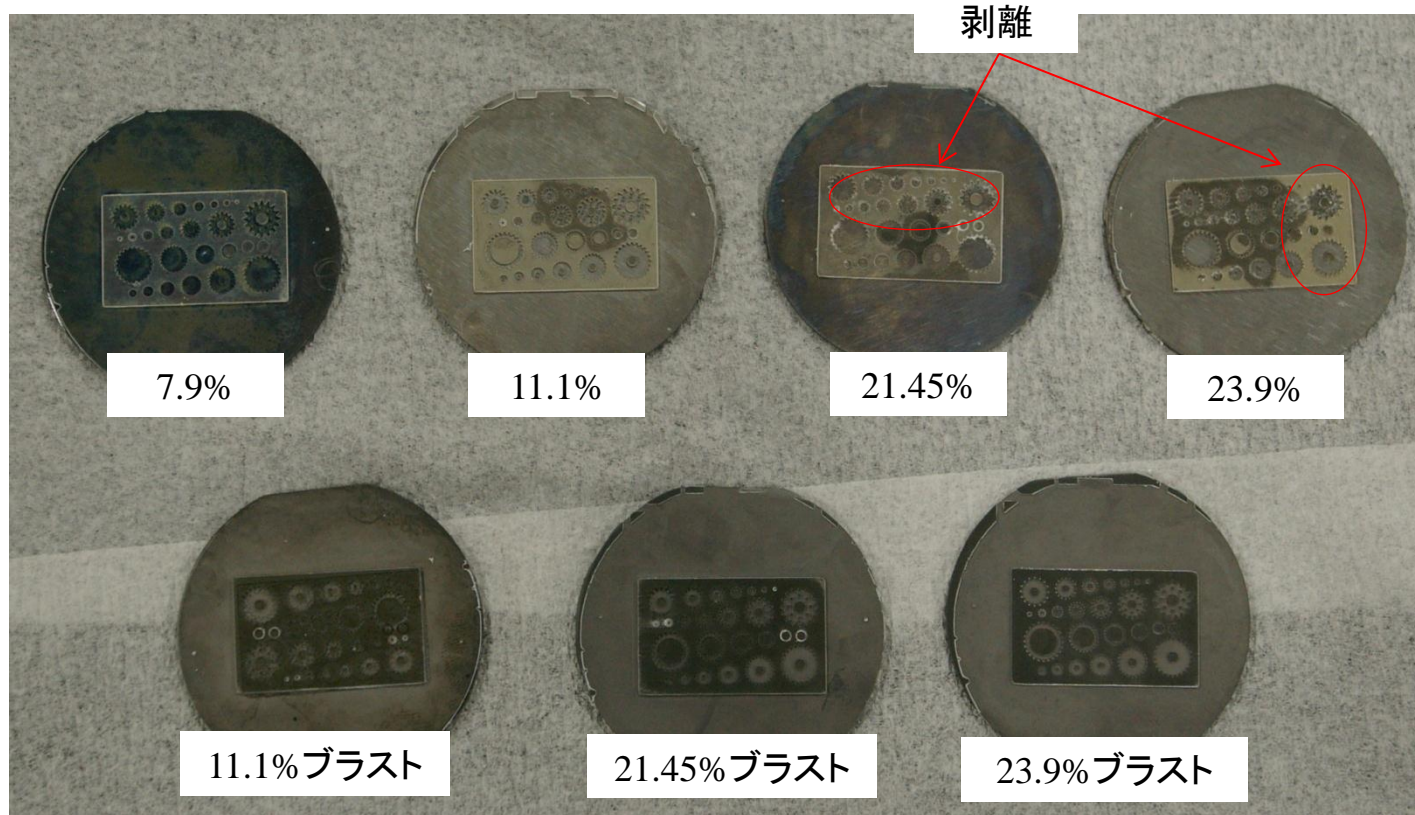
PEB



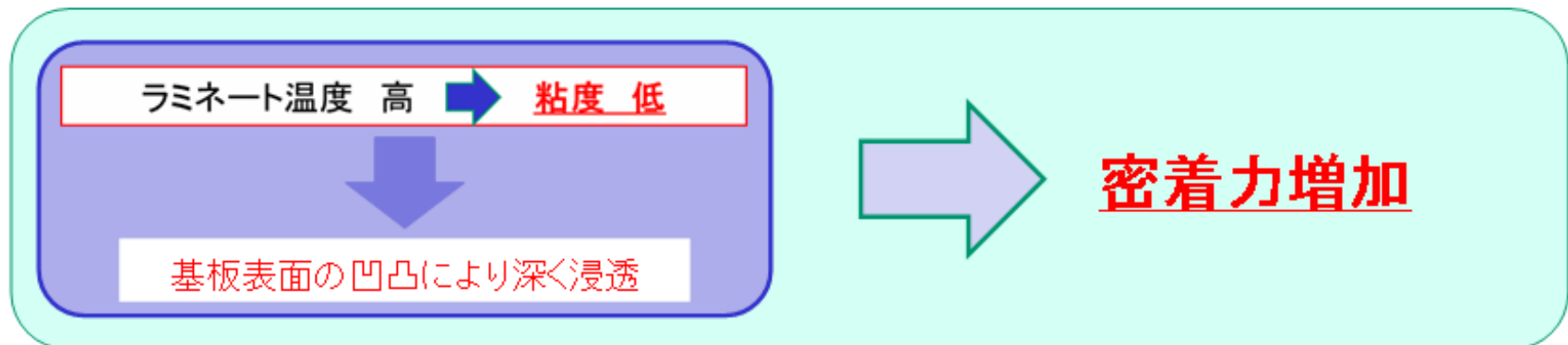
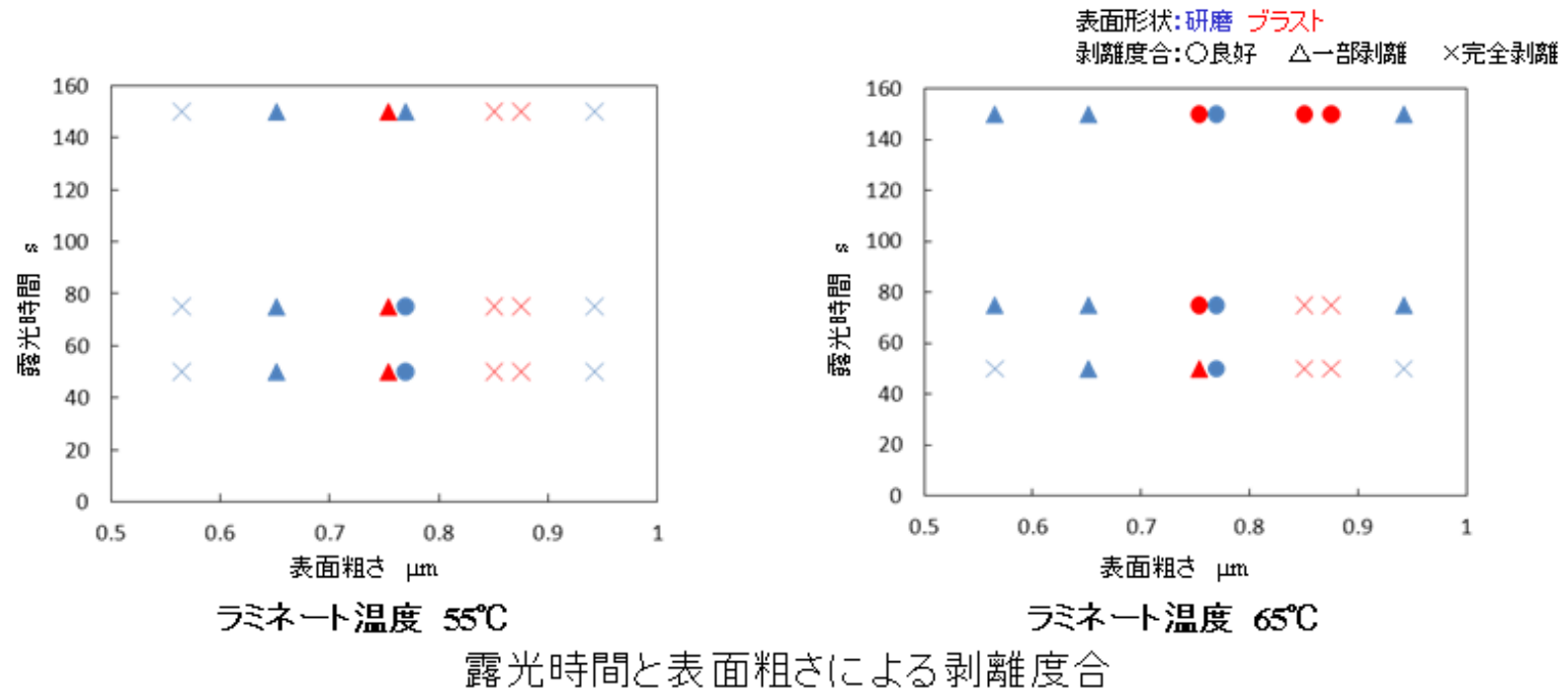
現像

# SU-8マイクロモールド作製例

作製条件: ラミネート温度65℃  
露光時間150s



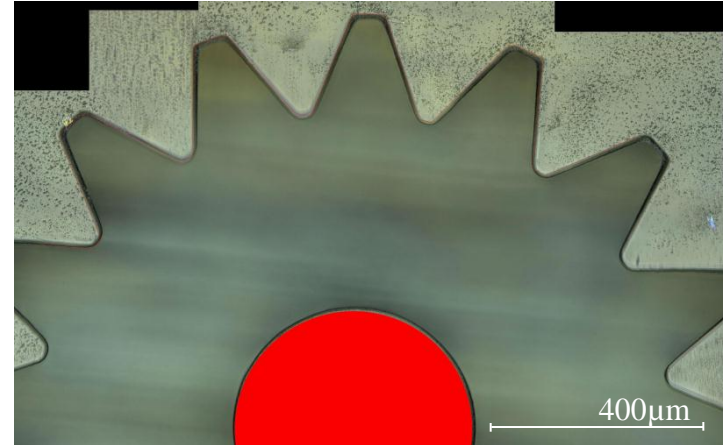
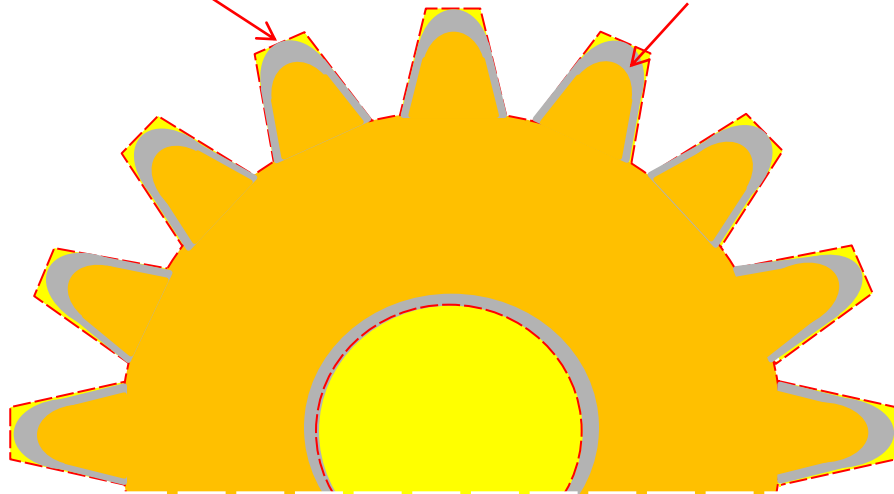
# SU-8剥離度合



# 測定箇所

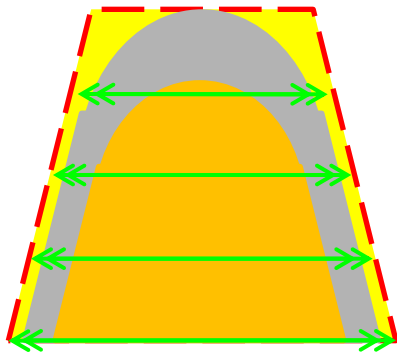
本来パターンニングされるべきマスク形状

テーパとしてのSU-8残留部



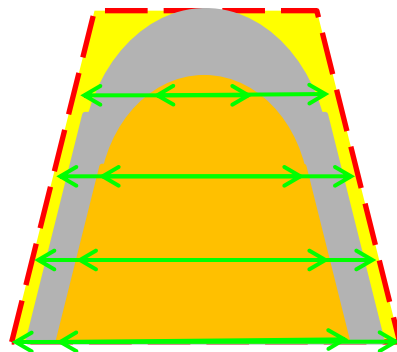
歯車径1.6mm × 300

①



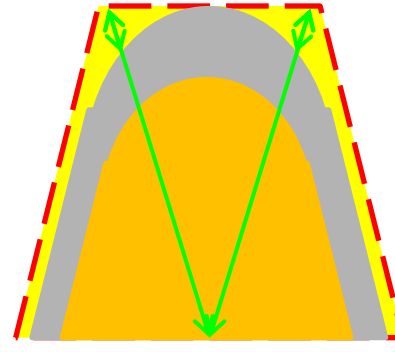
マスク-パターン

②



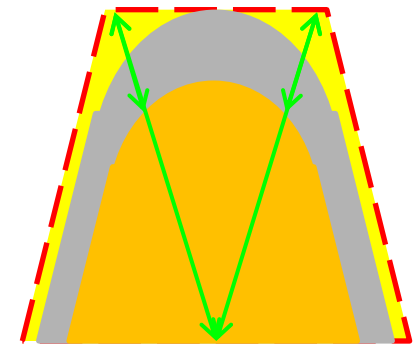
マスク-テーパ

③



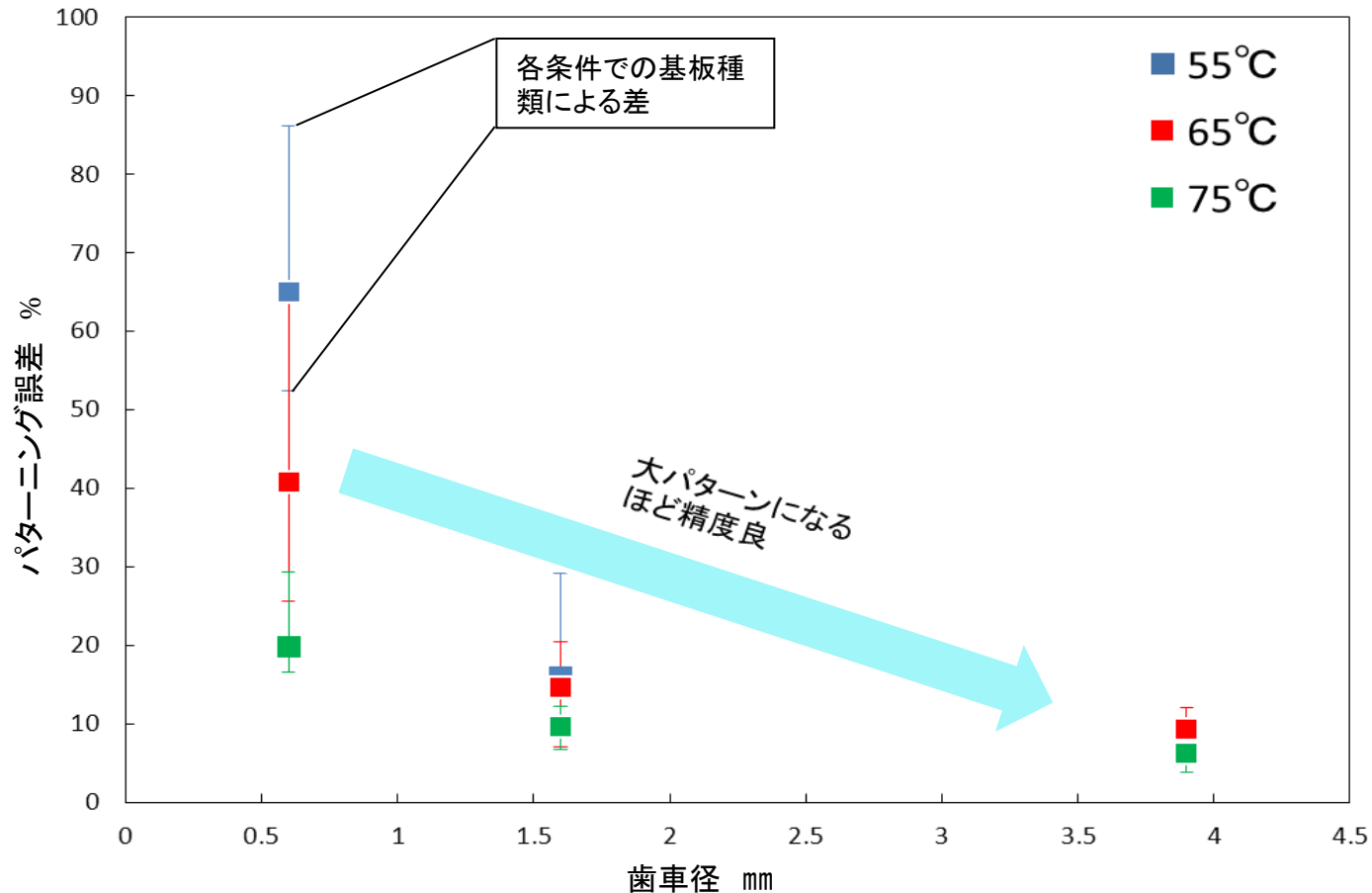
マスク-パターン 角

④



マスク-テーパ 角

# SU-8マイクロモールドパターン転写精度



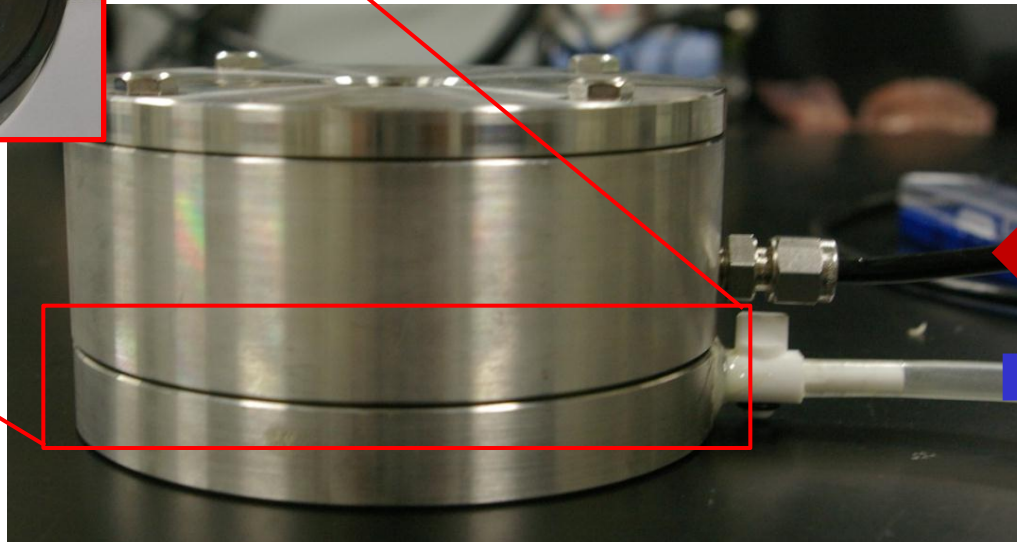
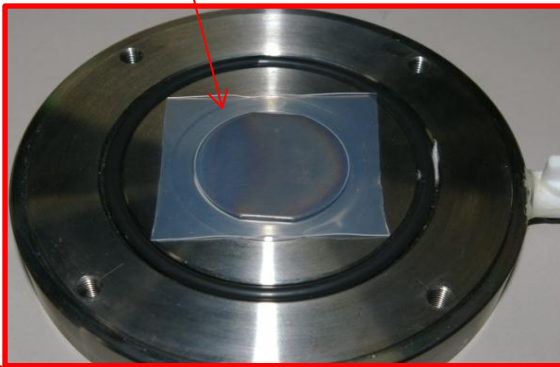
各ラミネート温度における露光時間75s、PEB温度、時間55°C、6hのパターニング精度

# WC基板破壊実験

鋳込み時加圧圧力

現状 0.39MPa → 0.39MPa以上での加圧

完全にシーリング



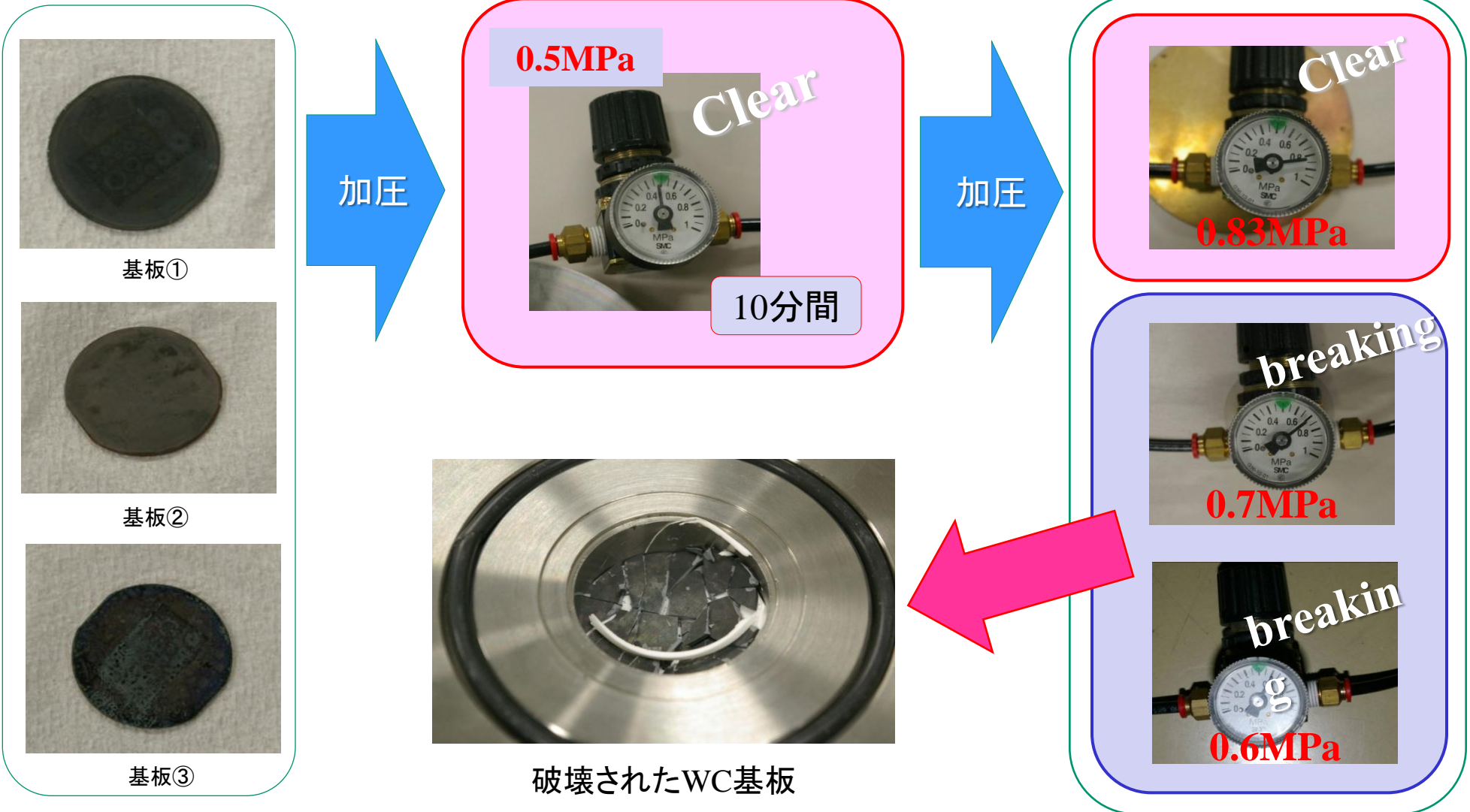
加圧(コンプレッサー)

減圧(簡易真空ポンプ)

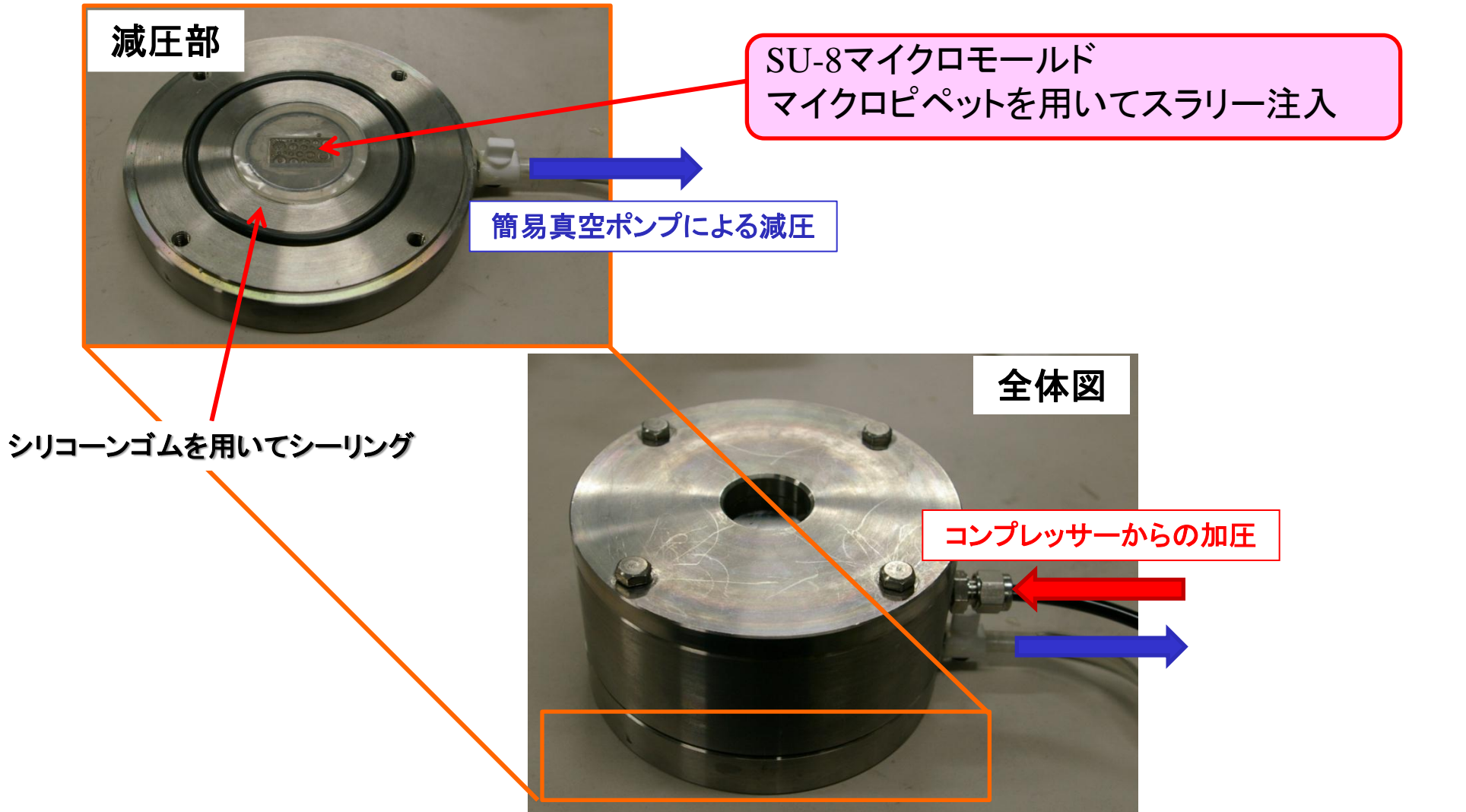


従来のコンプレッサーによる加圧圧力

# WC基板破壊実験結果



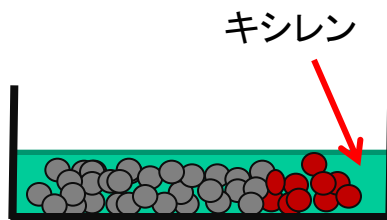
# 鑄込み装置概要



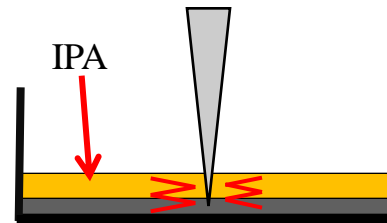
# スラリー作製工程



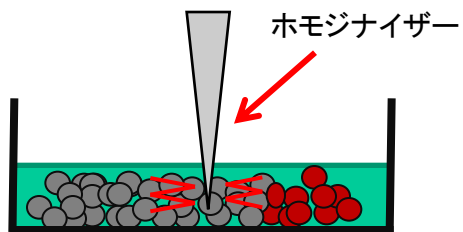
SiCナノパウダーと  
PCSを混合



キシレンを加える



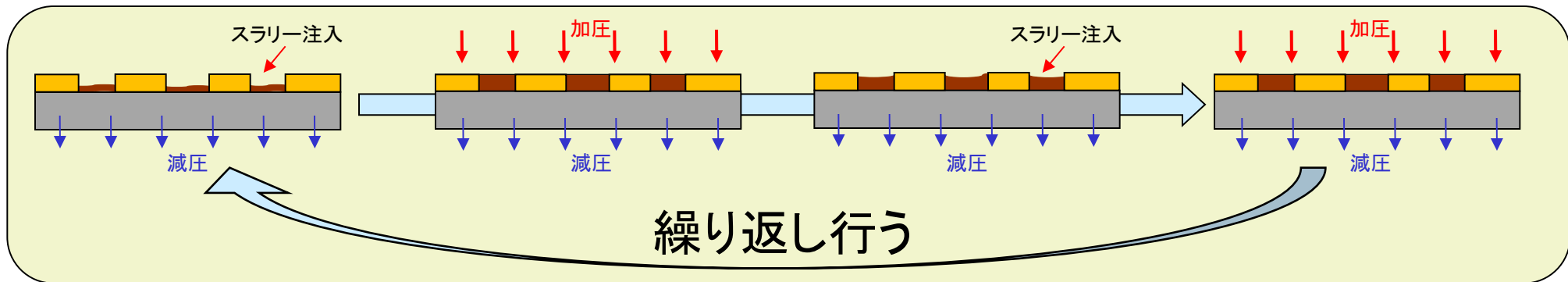
IPAを加え攪拌



攪拌

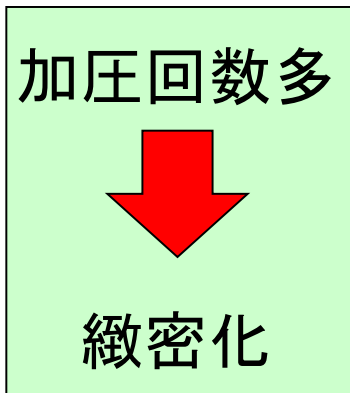


# 泥しょう鑄込み加圧工程について



## 鑄込み時操作工程

鑄込み合計回数 12回  
合計鑄込み量 600 $\mu$ l



鑄込み回数/加圧回数 6



加圧回数 2回

鑄込み回数/加圧回数 4



加圧回数 3回

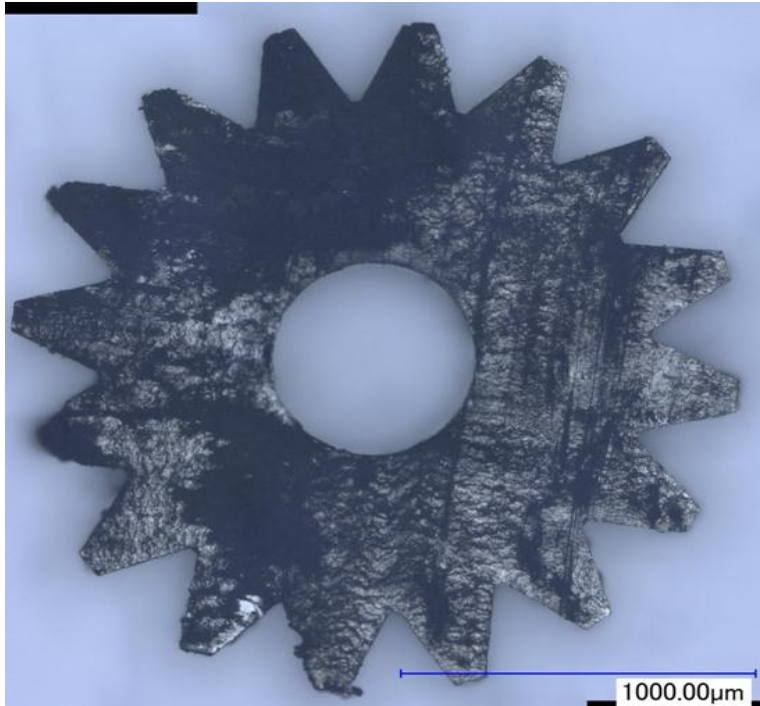
鑄込み回数/加圧回数 2



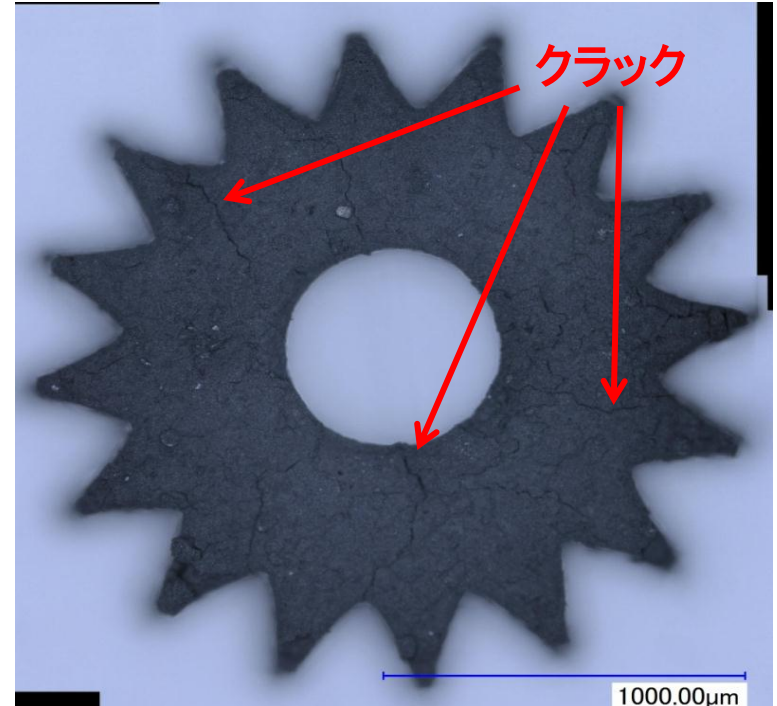
加圧回数 6回

# SiCマイクロパーツ作製結果

作製条件 加圧圧力;0.5MPa(固定) 加圧回数;6回 使用基板;気孔率7.9%



表面

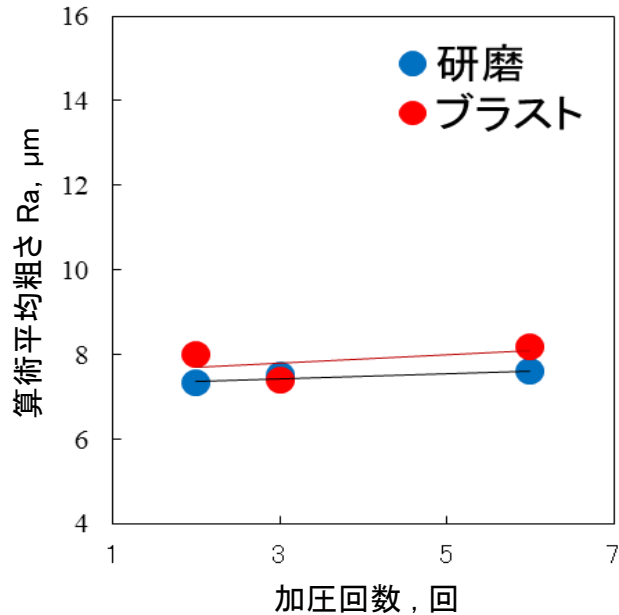


裏面

作製したSiCマイクロ歯車

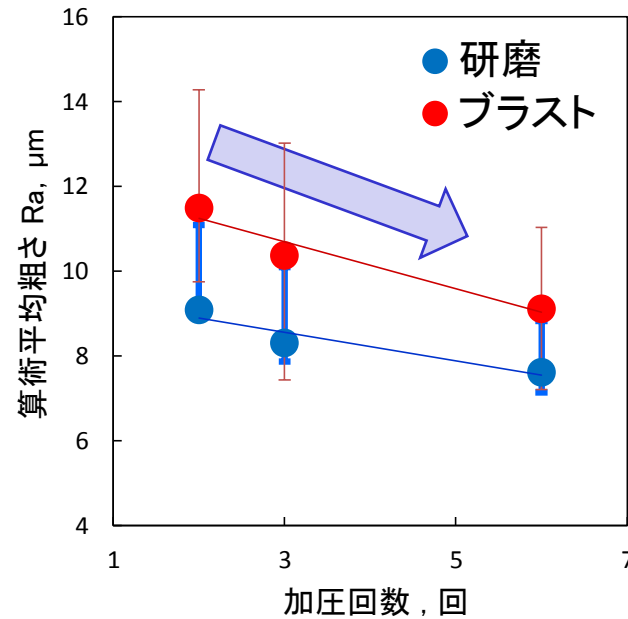
# SiCマイクロ歯車表面粗さ評価

## SiCマイクロ歯車表面

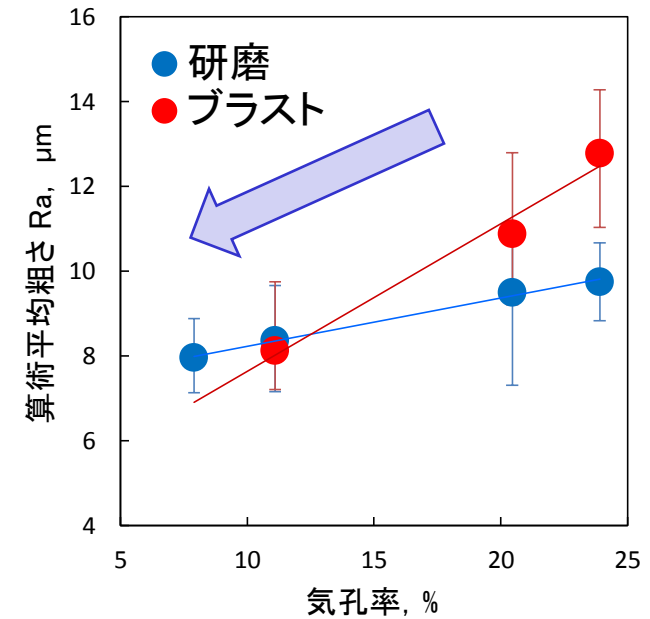


表面粗さRaと加圧回数の関係

## SiCマイクロ歯車裏面



表面粗さRaと加圧回数関係



表面粗さRaと気孔率の関係

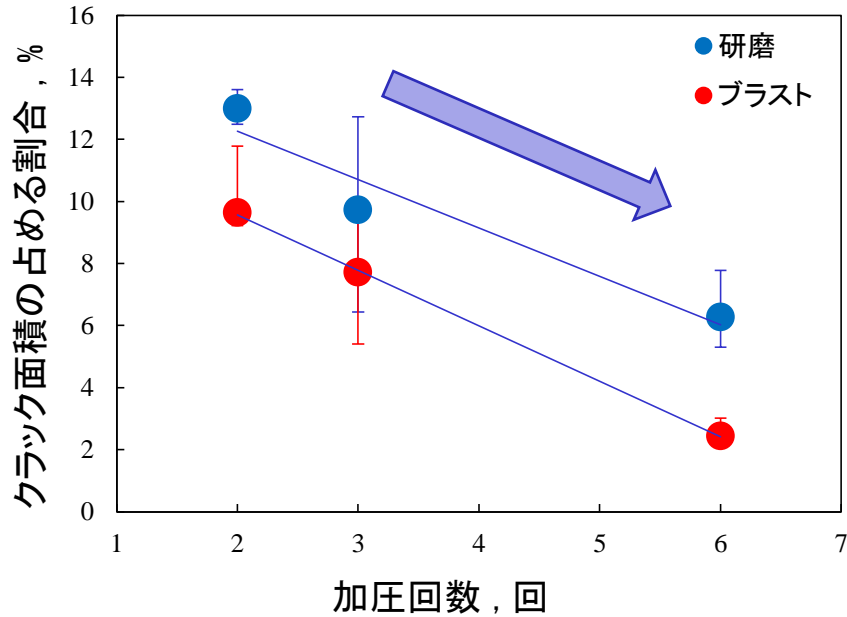
加圧回数  
気孔率

増  
低

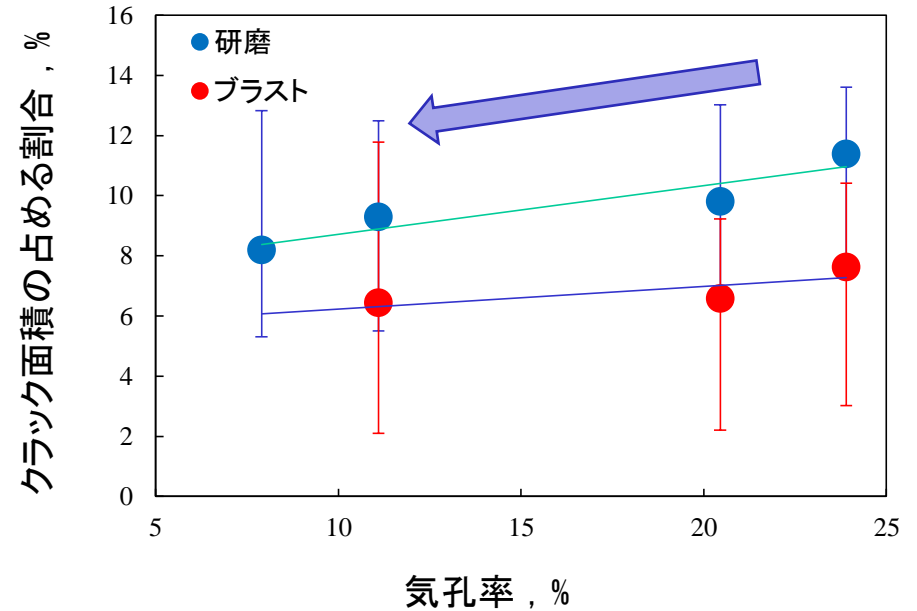


Ra 減少

# SiCマイクロ歯車裏面のクラック評価



クラックの占める割合と加圧回数の関係



クラックの占める割合と気孔率の関係

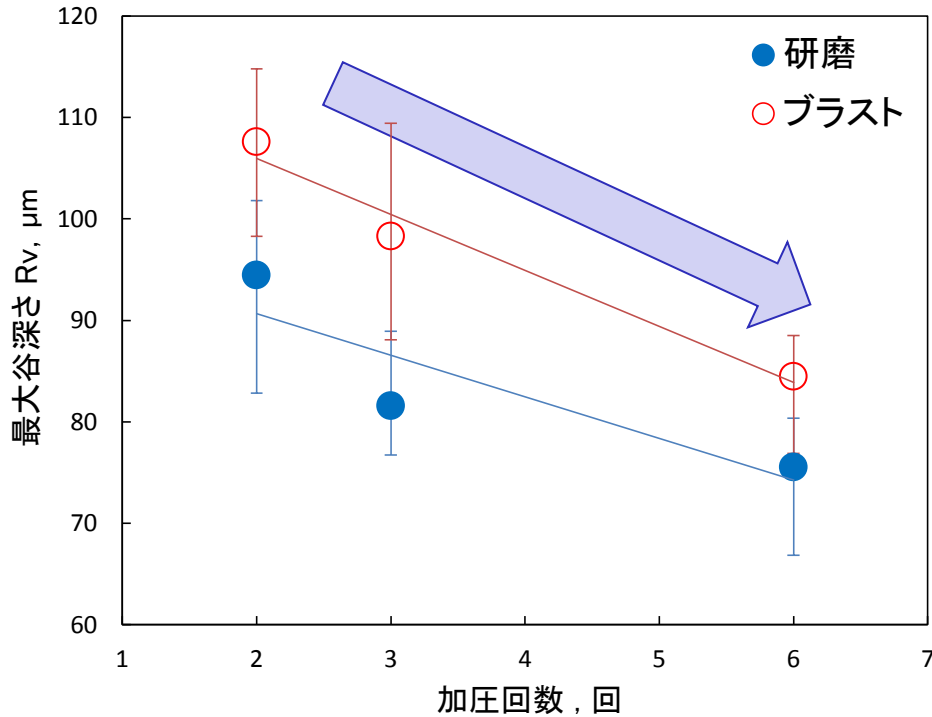
加圧回数  
気孔率  
研磨処理

増  
低  
なし

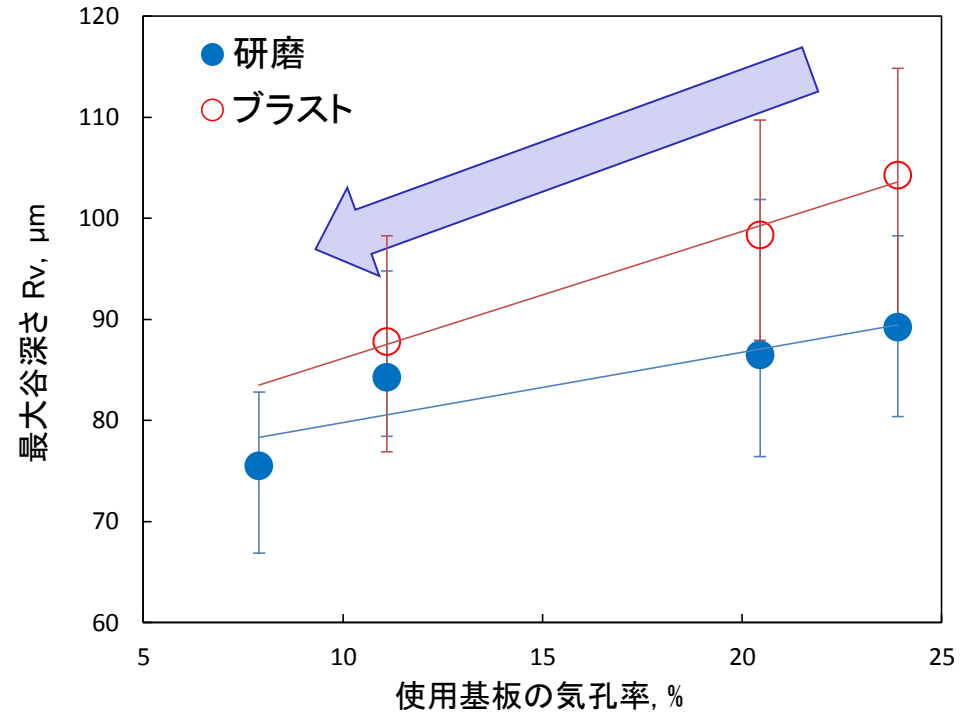


クラック面積の減少

# SiCマイクロ歯車裏面のクラック深さ評価



最大谷深さ Rvと加圧回数との関係



最大谷深さ Rvと気孔率との関係

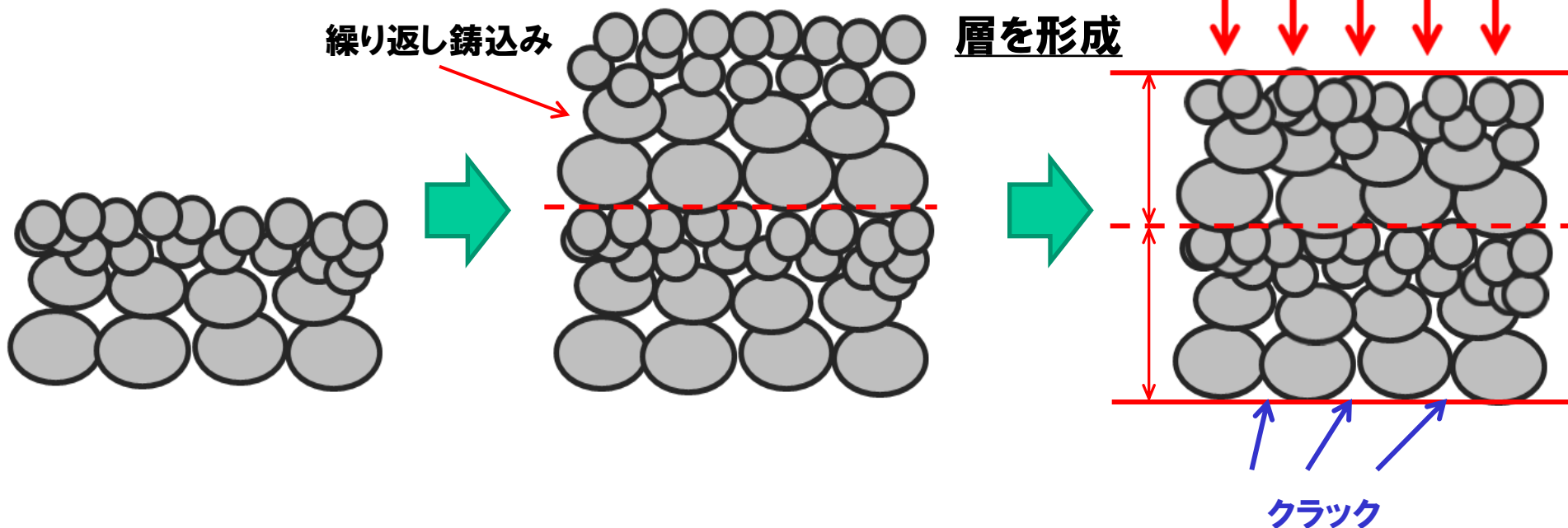
クラック深さ

研磨基板 < ブラスト基板

# 加圧回数の違いによるクラック量減少の模式図 1

加圧回数 少

➡ 加圧一回あたりのスラリーの厚みが厚い

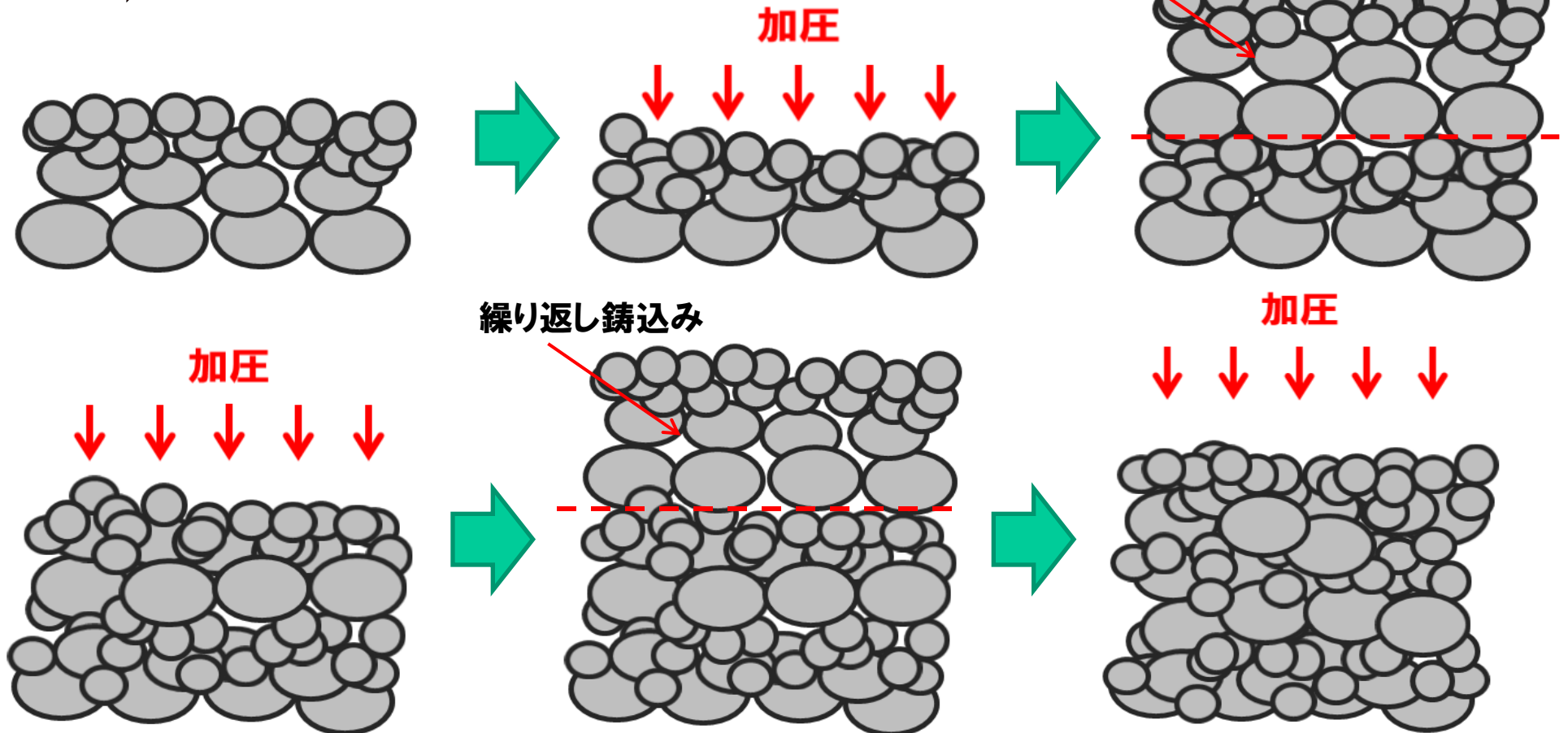


大小の粒子が層を形成し、うまく混合されない

# 加圧回数の違いによるクラック量減少の模式図 2

## 加圧回数 多

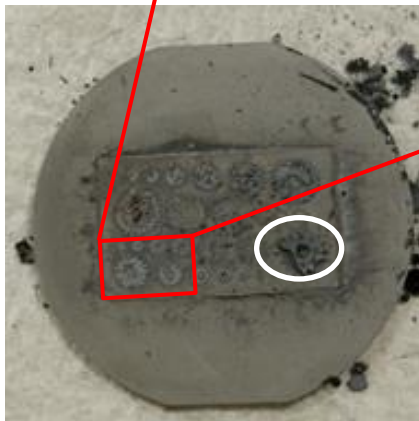
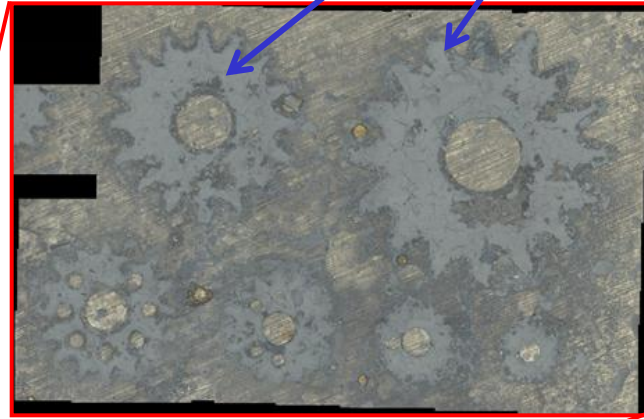
➡ 加圧一回あたりのスラリーの厚みが薄い



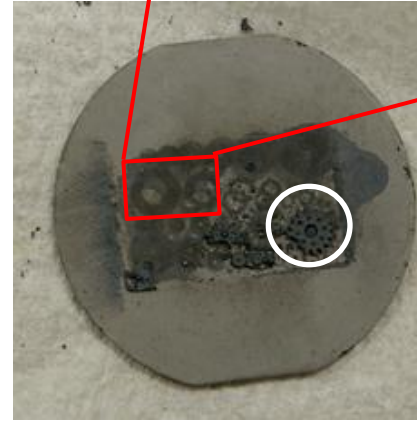
小粒子が大粒子の隙間を埋めるためクラック減少

# 基板に残留したSiC歯車

気孔に入り込み残留したSiC粒子



研磨基板

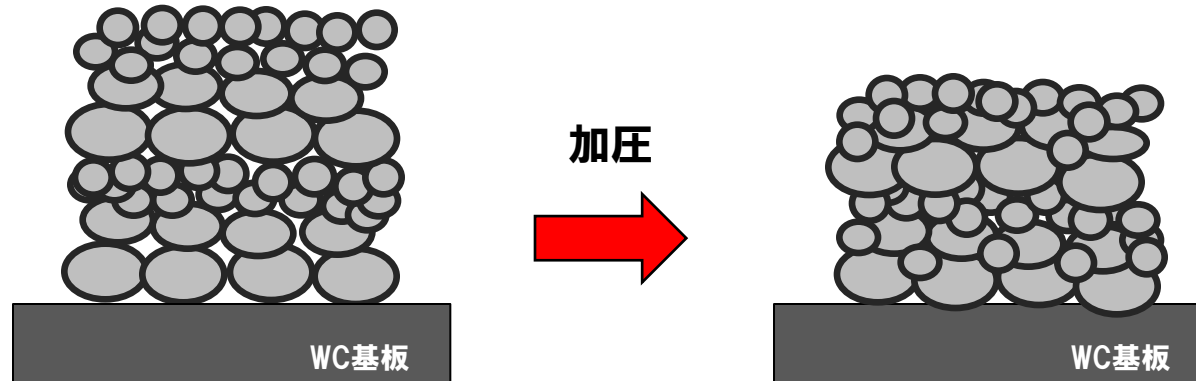


ブラスト基板

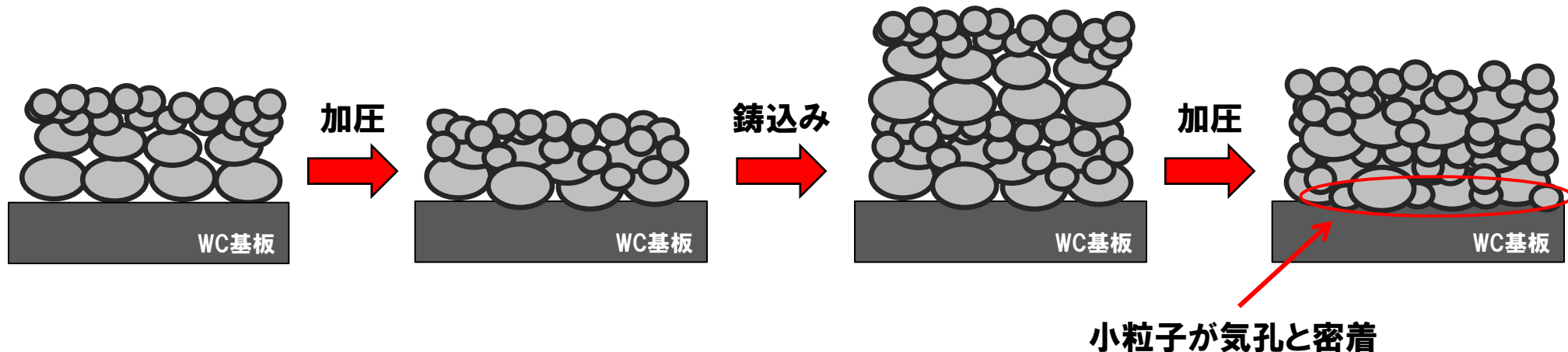
離型されず残留したSiC歯車

# 成形体底部密着イメージ

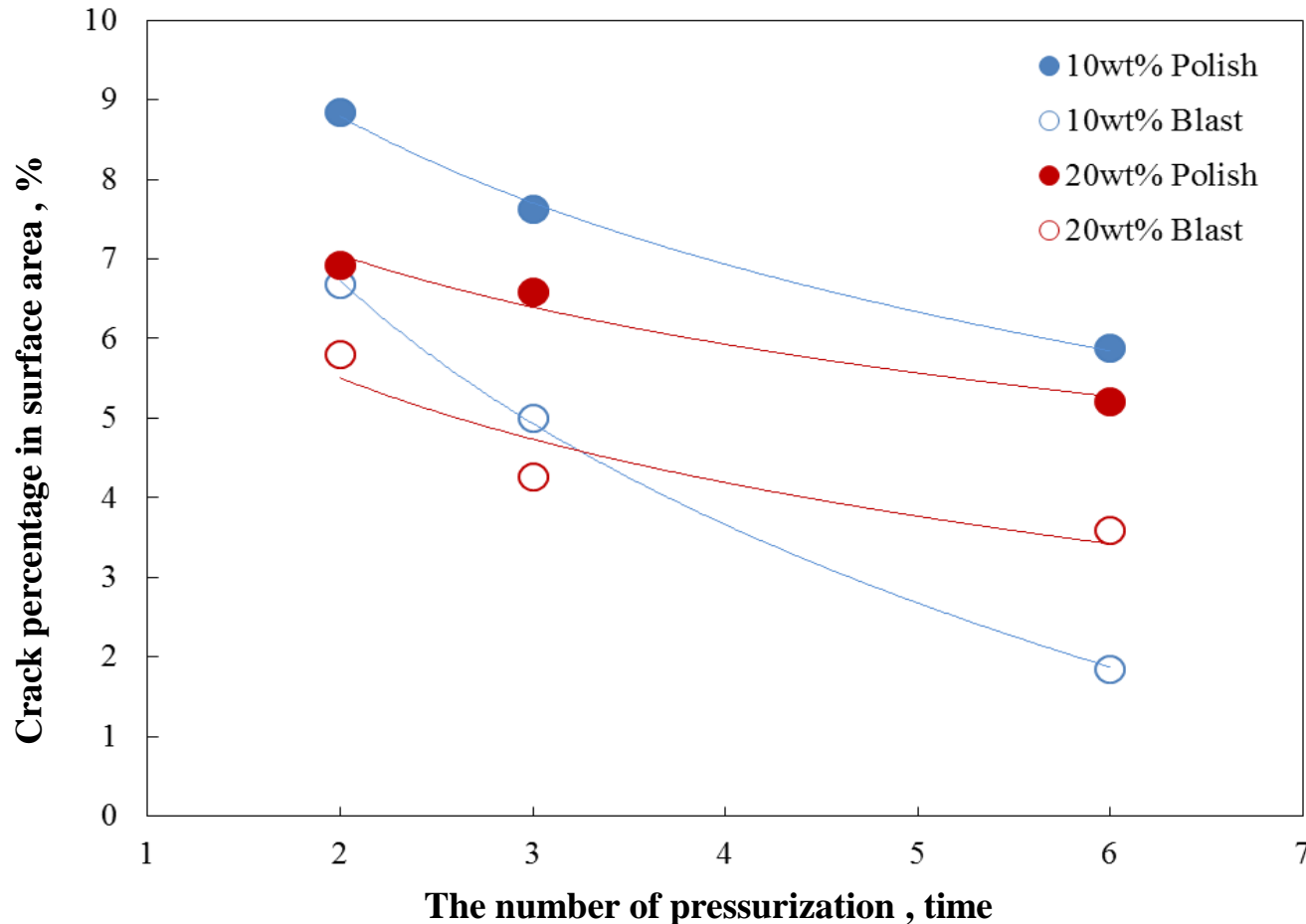
加圧回数6回⇒鑄込み2回につき加圧1回



加圧回数12回⇒鑄込み1回につき加圧1回

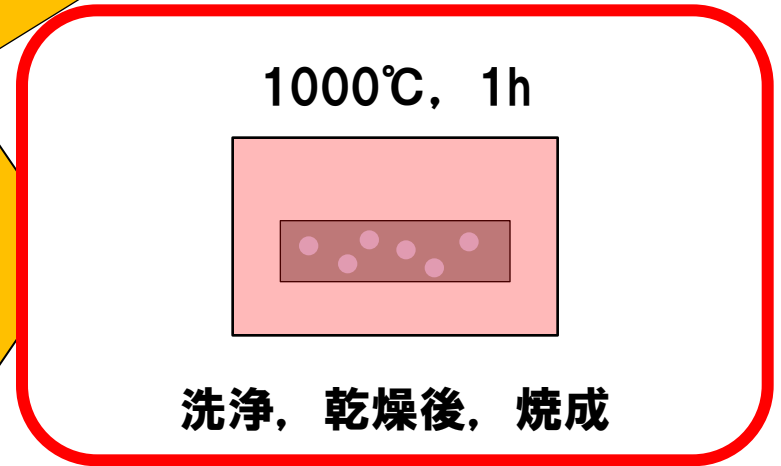
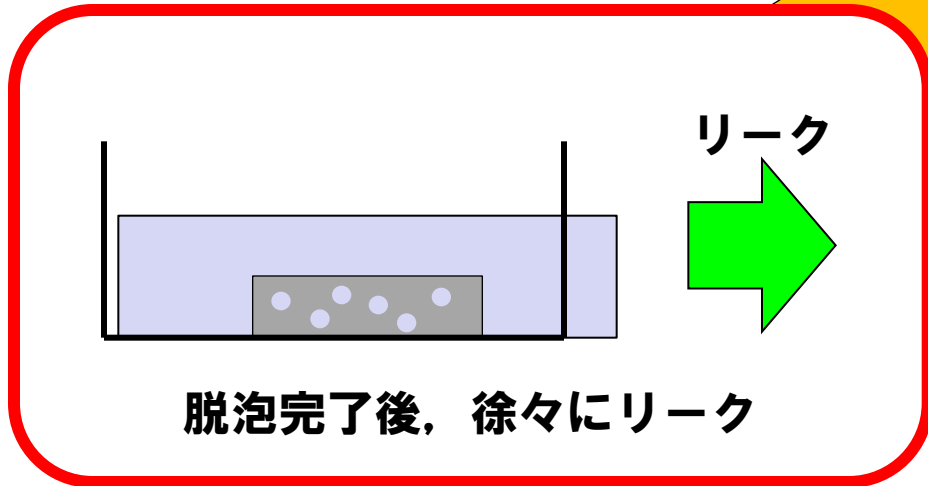
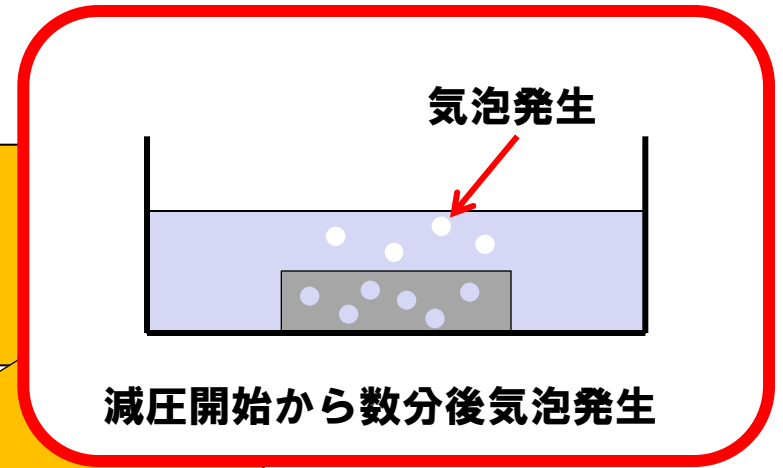
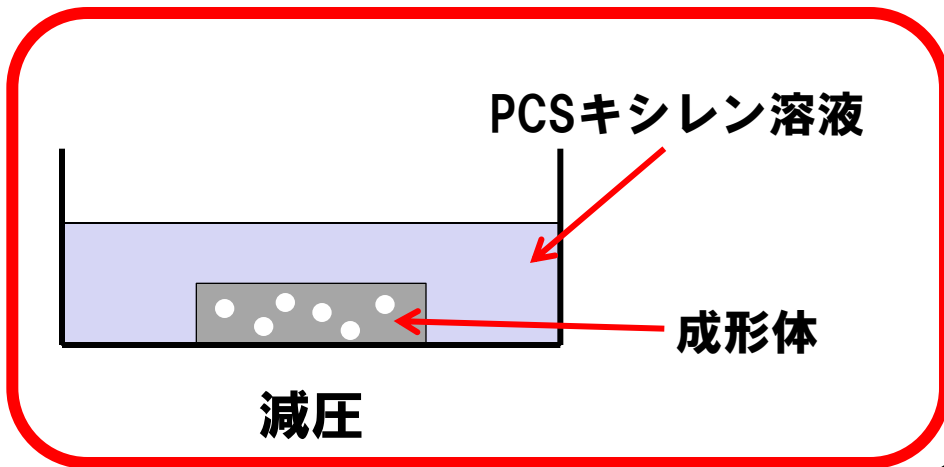


# PCS含有率が成形体裏面のクラック生成量に及ぼす影響



クラック面積の占める割合と加圧回数との関係

# PIPプロセス



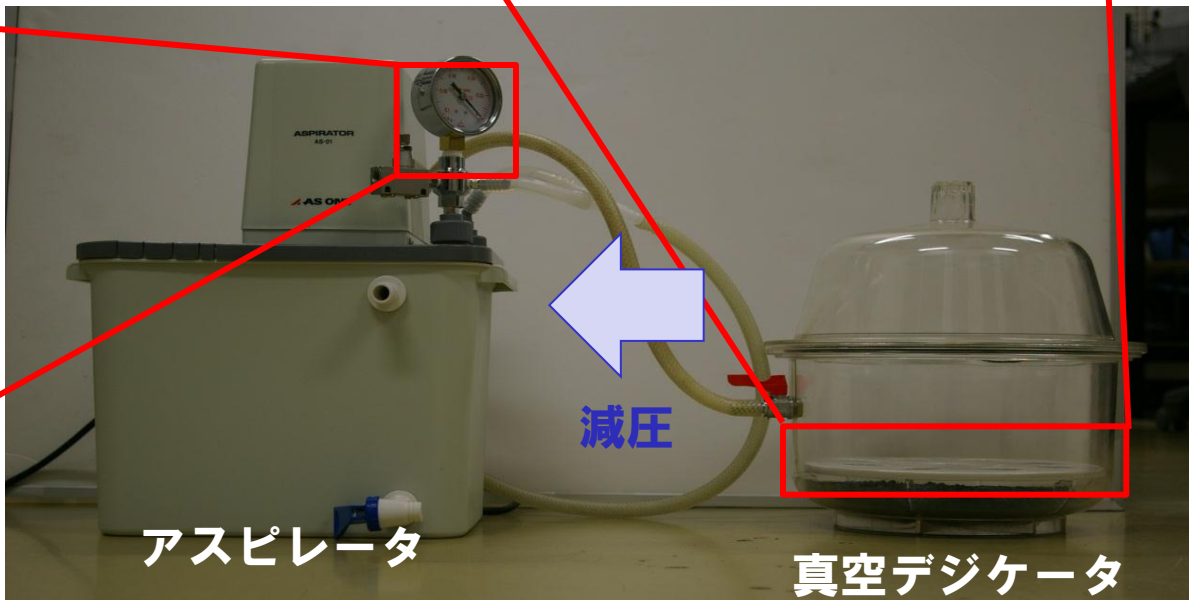
# 装置概要



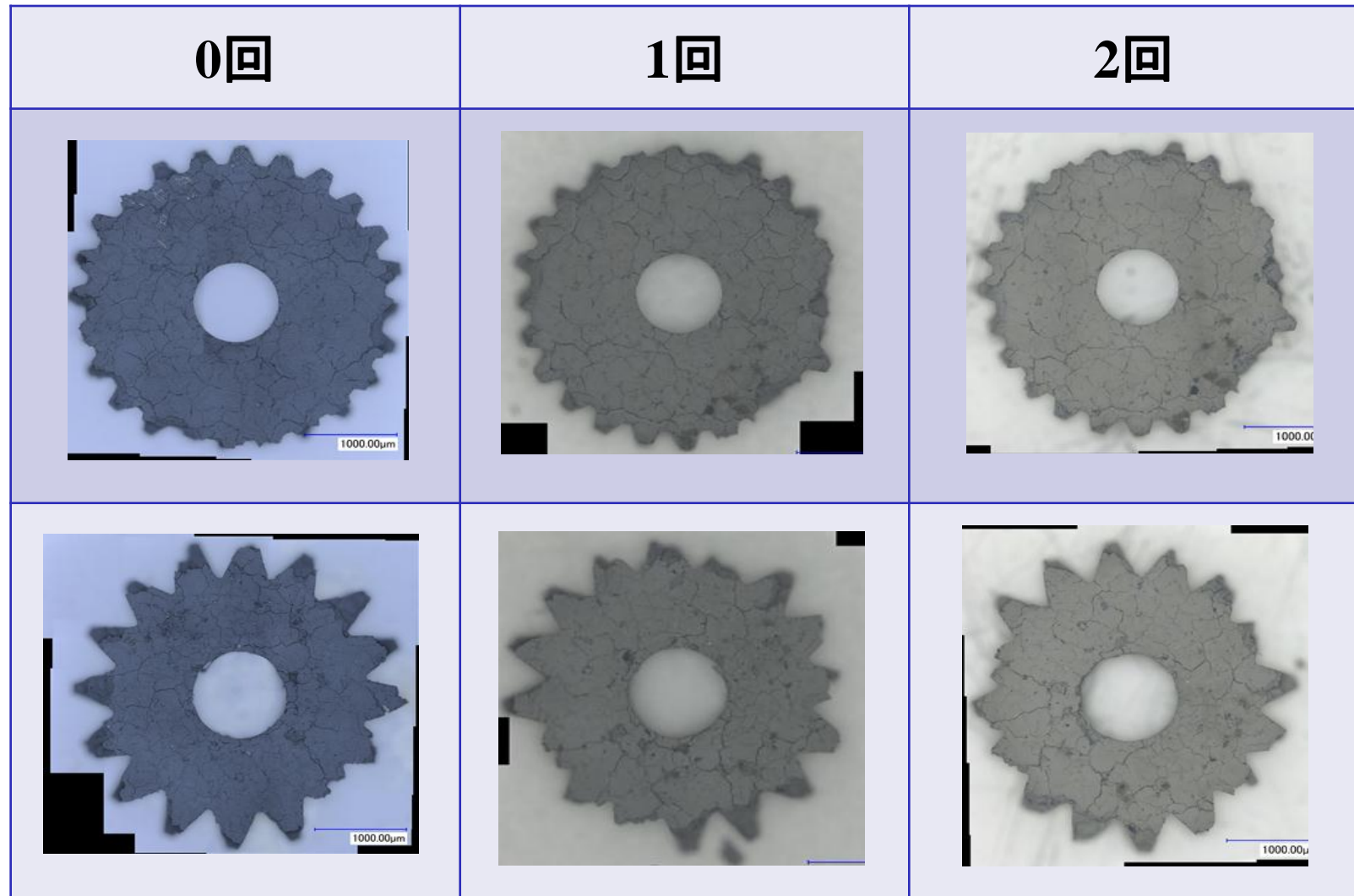
PCS+キシレン溶液



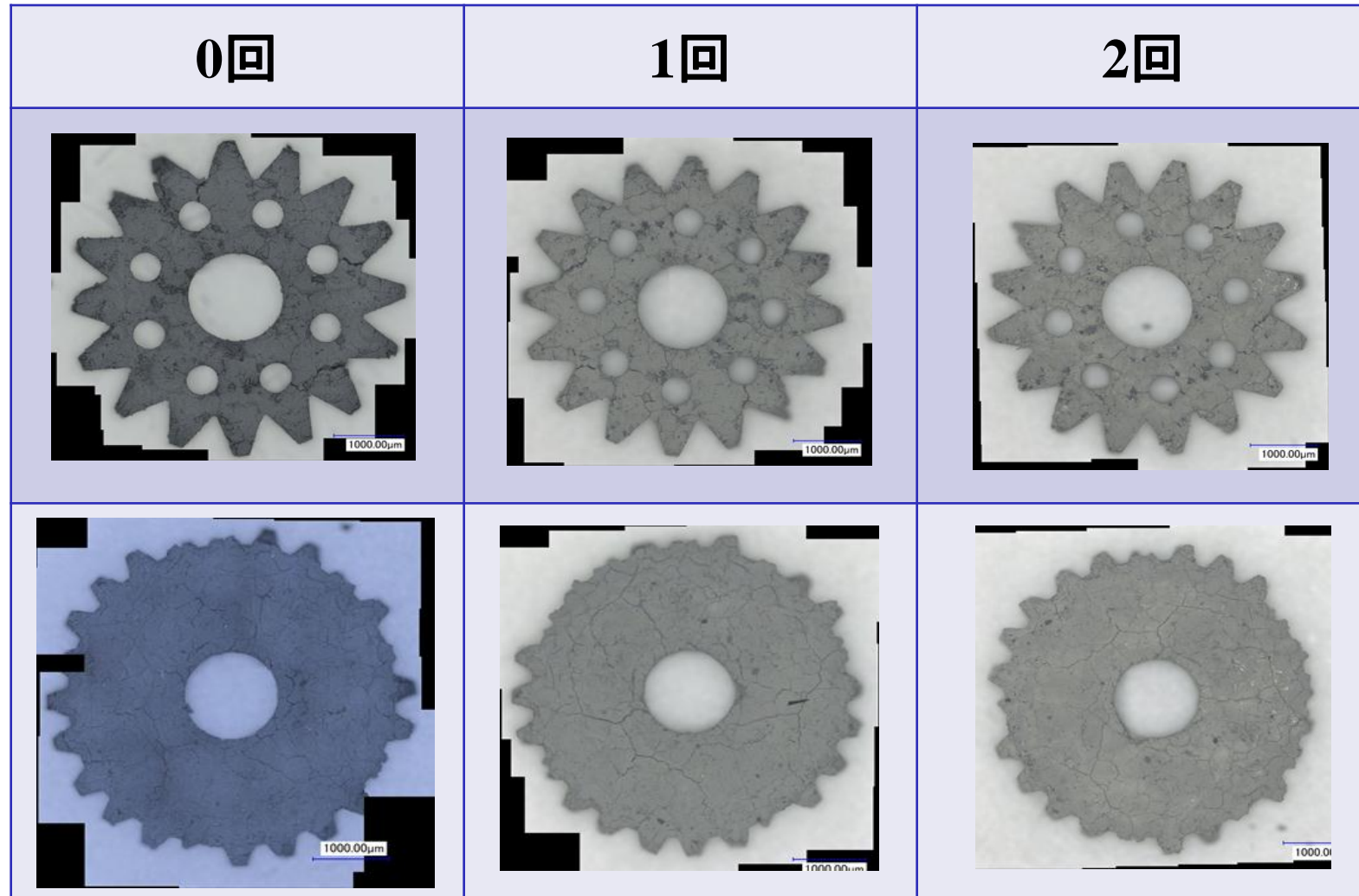
-0.095MPa=6.33kPa  
大気圧基準 絶対基準



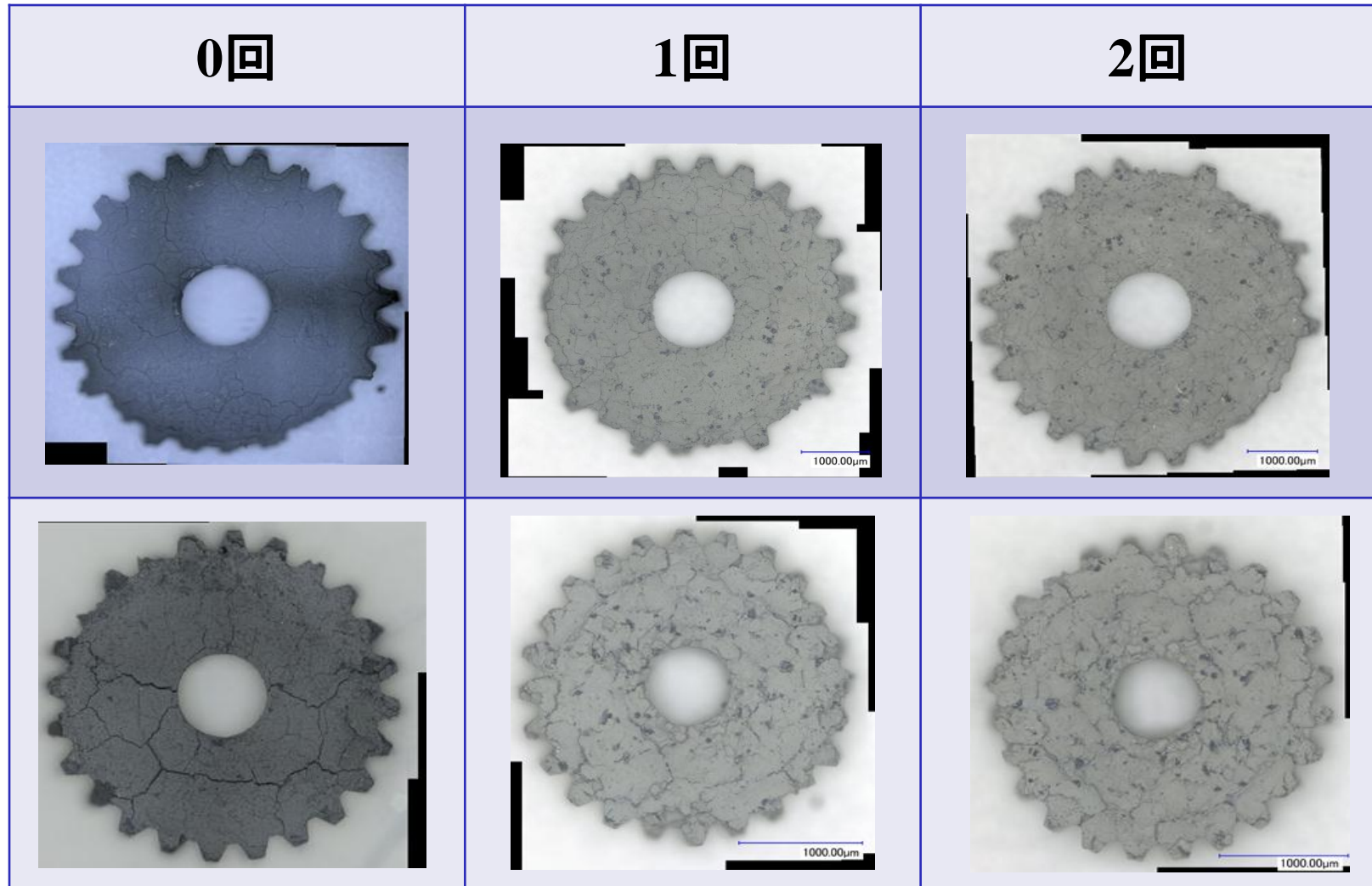
# 10wt% 研磨



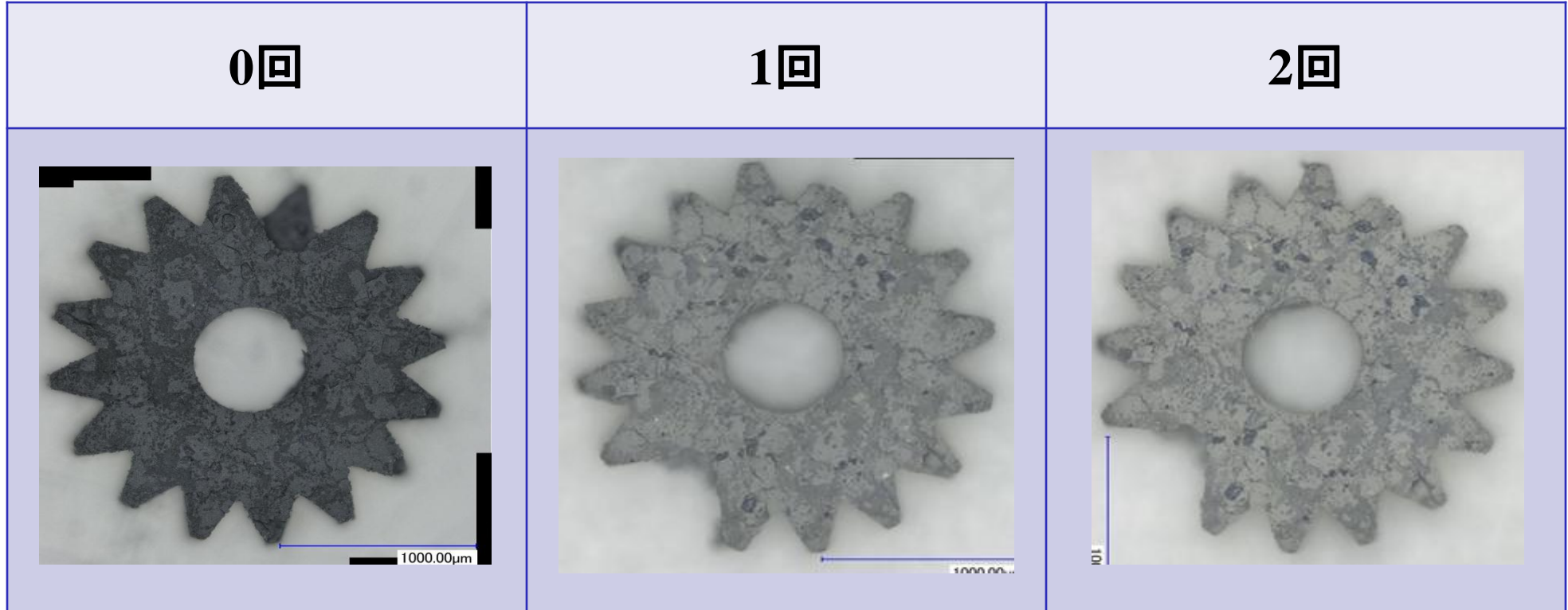
# 10wt% ブラスト



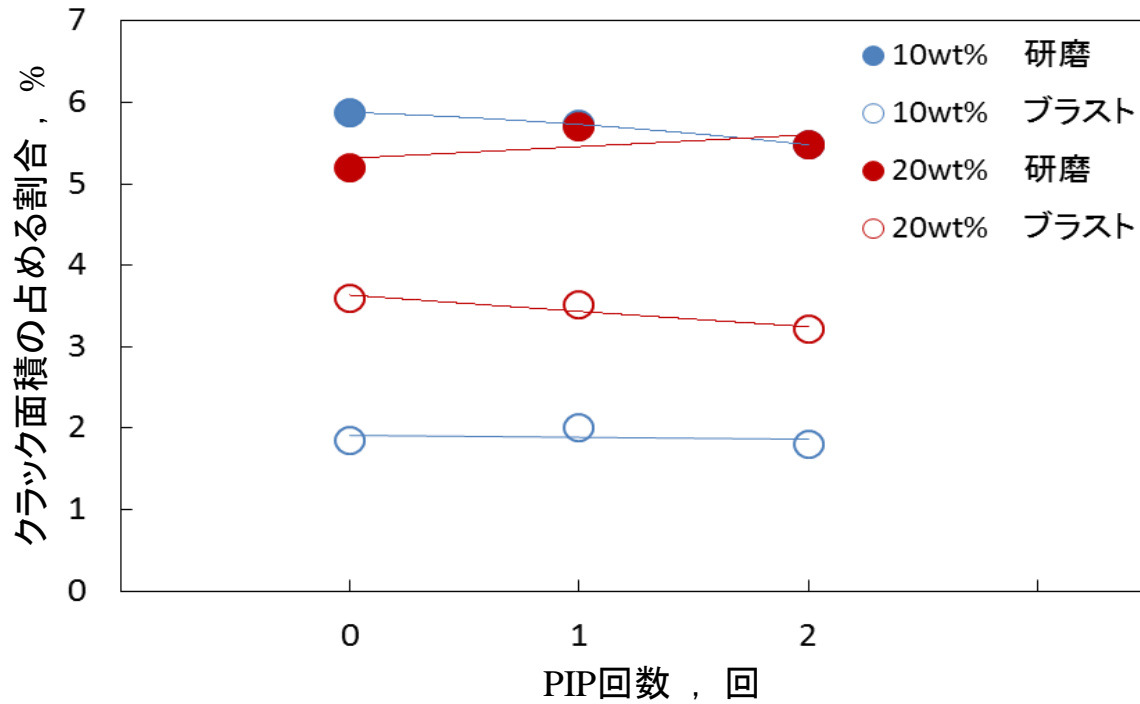
# 20wt% 研磨



# 20wt% ブラスト



# クラック評価

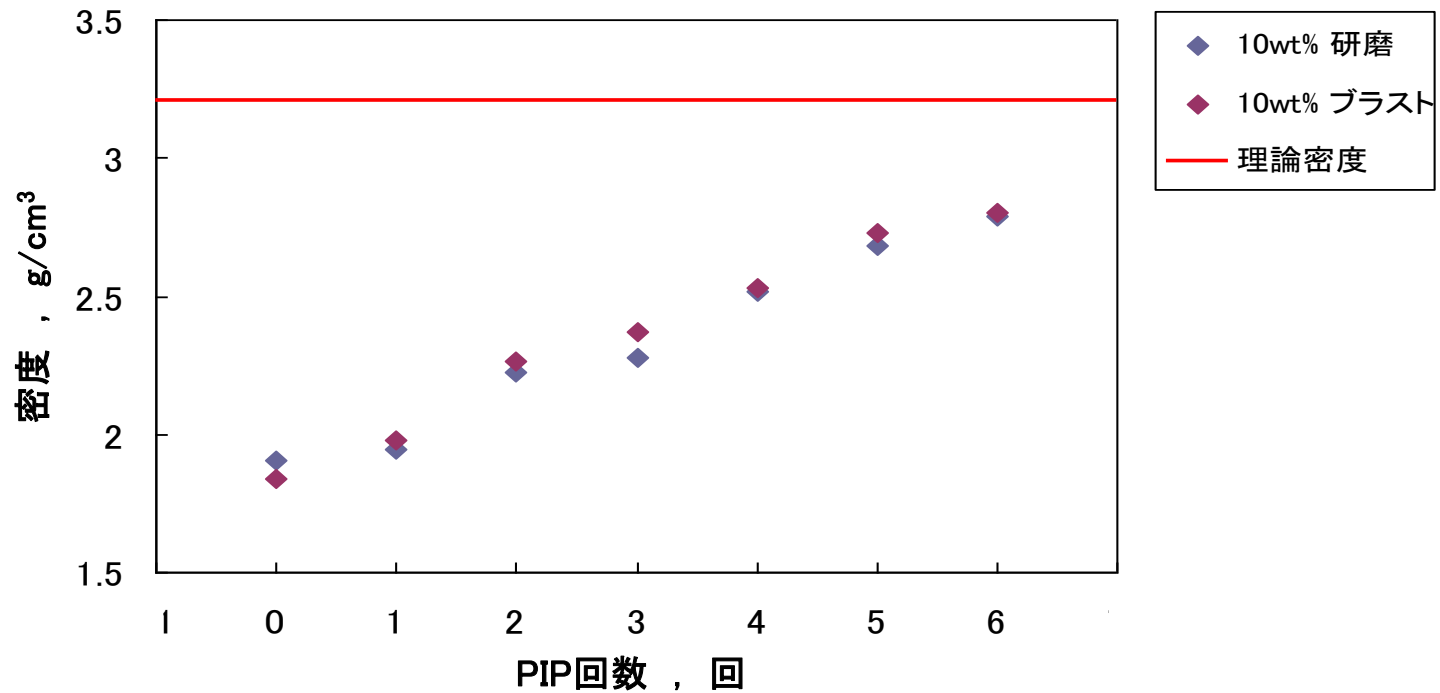


クラックの割合とPIP回数の関係

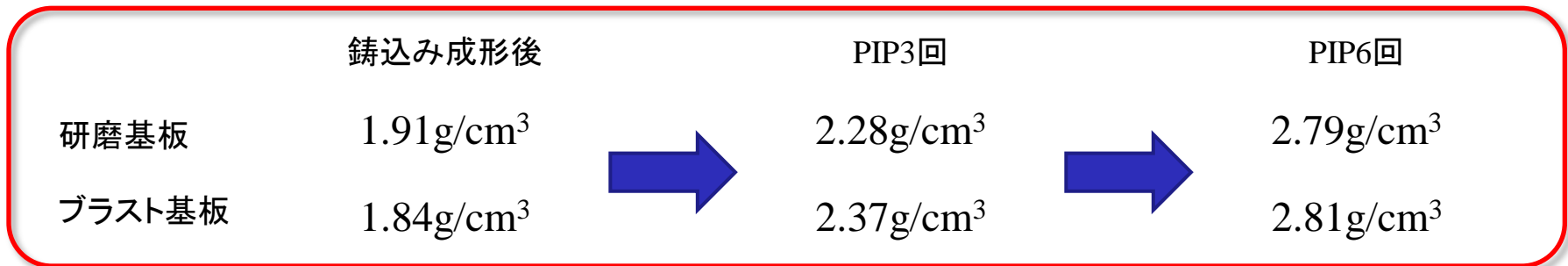
PIP回数	0回	1回	2回
10wt% 研磨	5.88	5.73	5.48
10wt% ブラスト	1.85	2.01	1.81
20wt% 研磨	5.2	5.7	5.5
20wt% ブラスト	3.6	3.51	3.21

表中単位は% (小数点以下第3位を四捨五入)

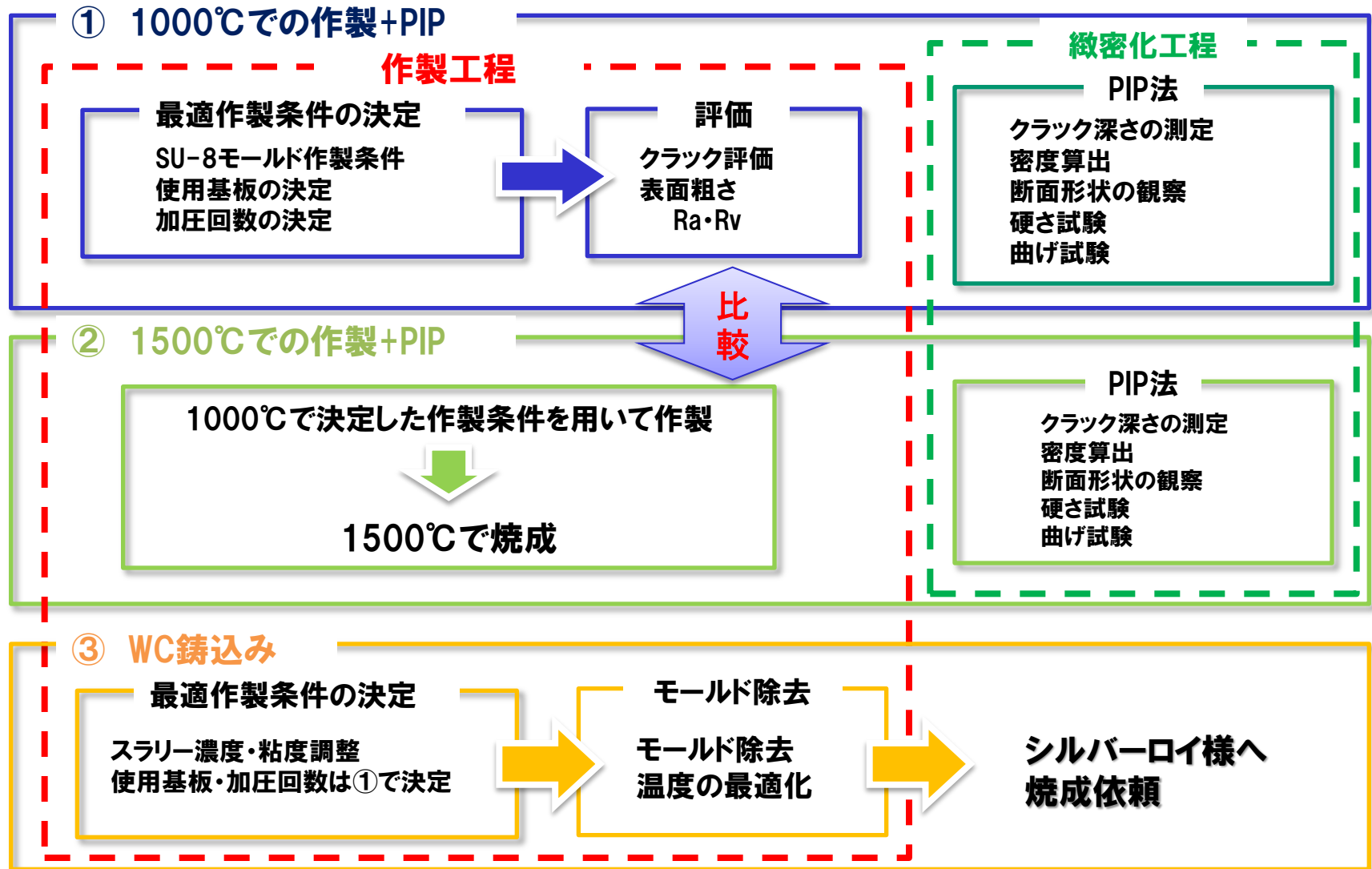
# PIPによる緻密化



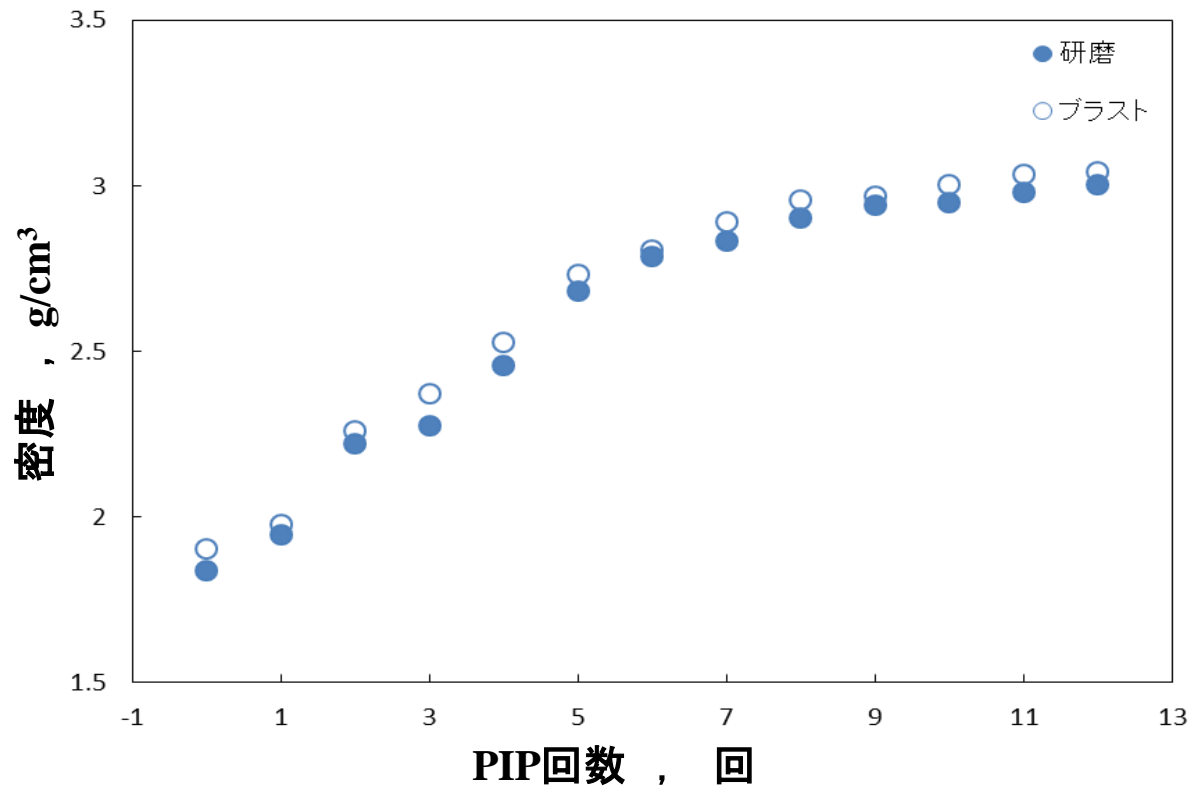
密度とPIP回数の関係



# 今後の展望



# PIPによる緻密化の結果



成形体の密度とPIP回数の関係

各プロットの数値

PIP回数	0	1	2	3	4	5	6	7	8	9	10	11	12
研磨	1.837	1.945	2.222	2.277	2.457	2.681	2.786	2.832	2.901	2.941	2.951	2.981	3.005
ブラスト	1.905	1.977	2.261	2.373	2.529	2.732	2.806	2.891	2.955	2.968	3.002	3.035	3.041

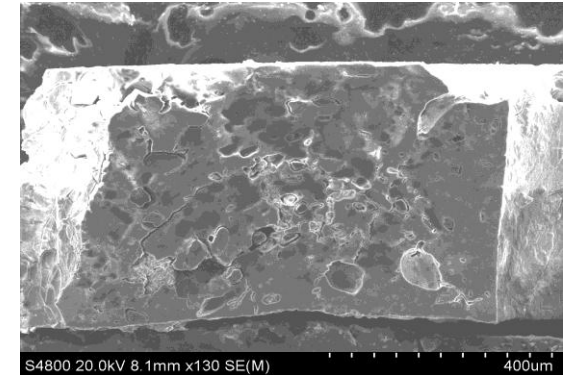
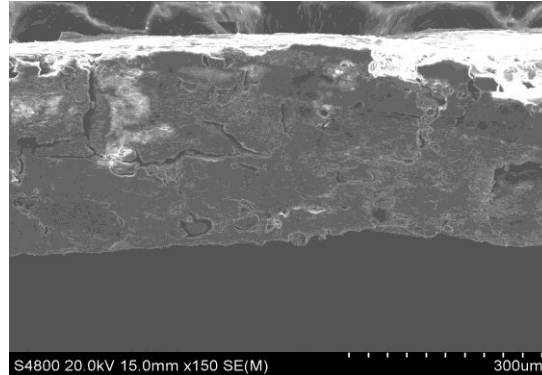
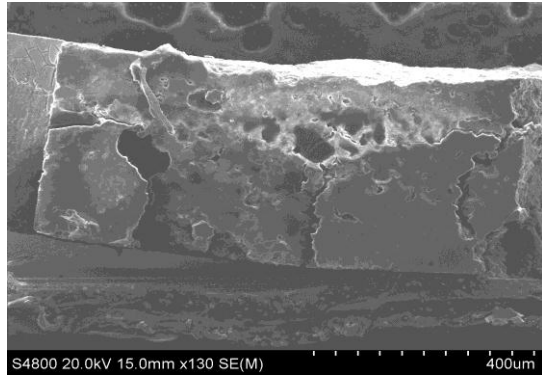
# 歯車断面SEM画像

PIP 6回

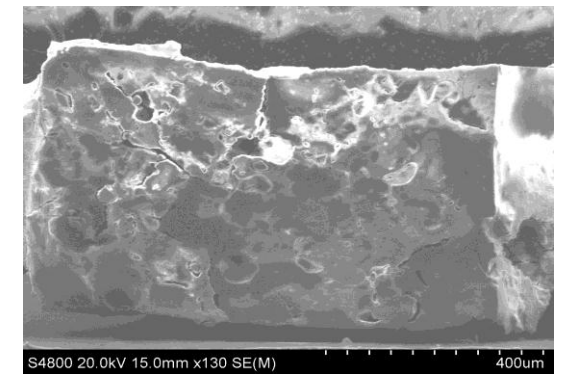
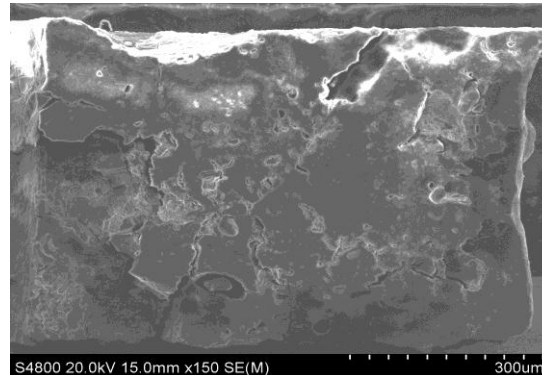
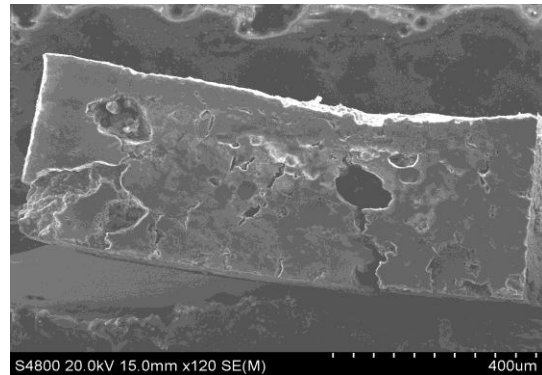
PIP 9回

PIP 12回

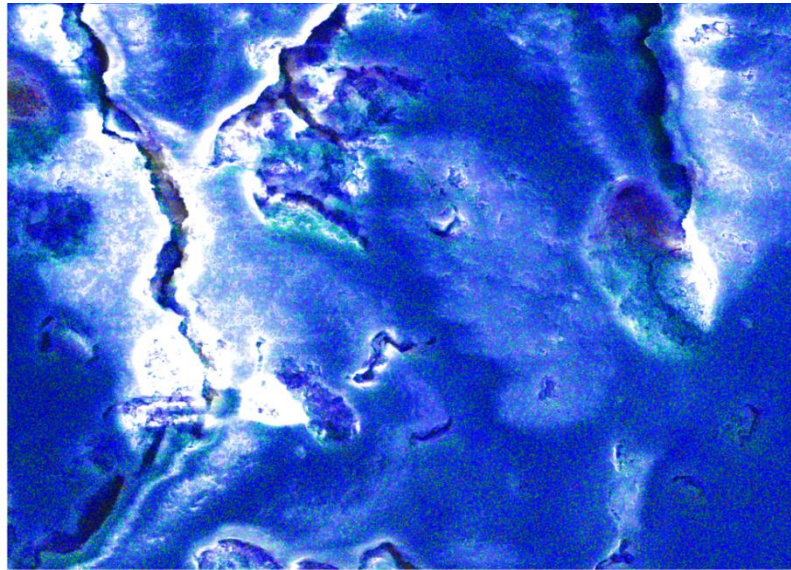
研磨



ブラスト

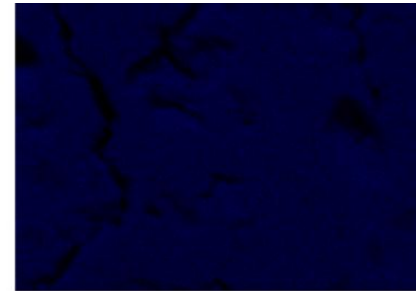


# EDXによる歯車断面の組成分析



60 μm

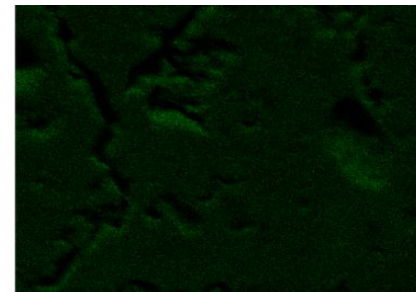
合成



Si Ka1



O Ka1\_2

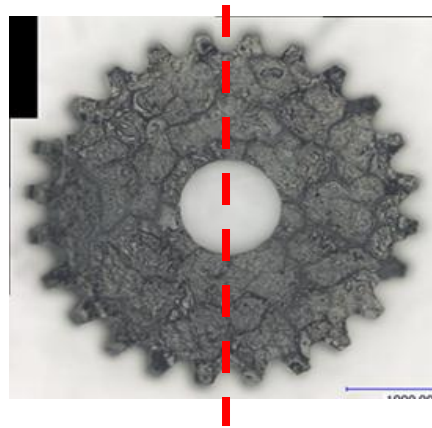


C Ka1

## 成形体断面の組成分析例

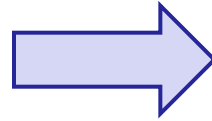
PIP回数(回)	使用基板	原子数濃度(at%)		
		Si	C	O
6	研磨	30.78	26.66	42.56
	ブラスト	30.91	43.19	25.9
9	研磨	24.65	53.39	21.96
	ブラスト	23.01	24.72	52.27
12	研磨	22.97	44.67	32.37
	ブラスト	26.01	25.77	48.22

# ナノインデンテーション用試験片の作製



SiC歯車

ダイシング  
カット



測定個所

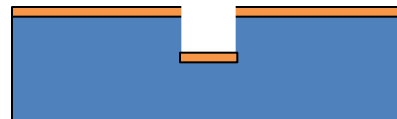
## 作製工程

①



Si

③



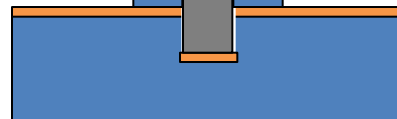
SU8層を50 $\mu$ m形成

②

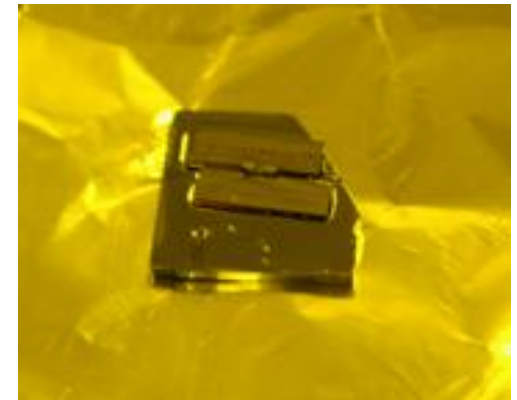


TMAHでエッチング

④



SiC歯車を設置し、両側をSi試験片で挟む



作製した試験片

# ナノインデンテーションによる硬さ試験

## 試験条件

荷重：500mN,100mN

保持時間：1sec

分割数：500

測定箇所：25 (5×5 (/20 $\mu$ m))

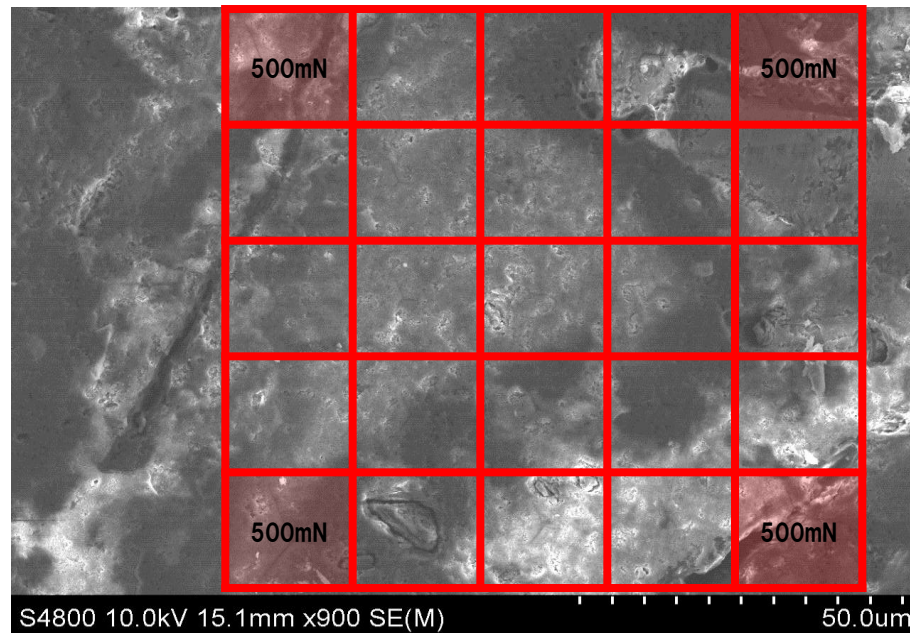
ステップインターバル:20msec

## SiC歯車作製条件

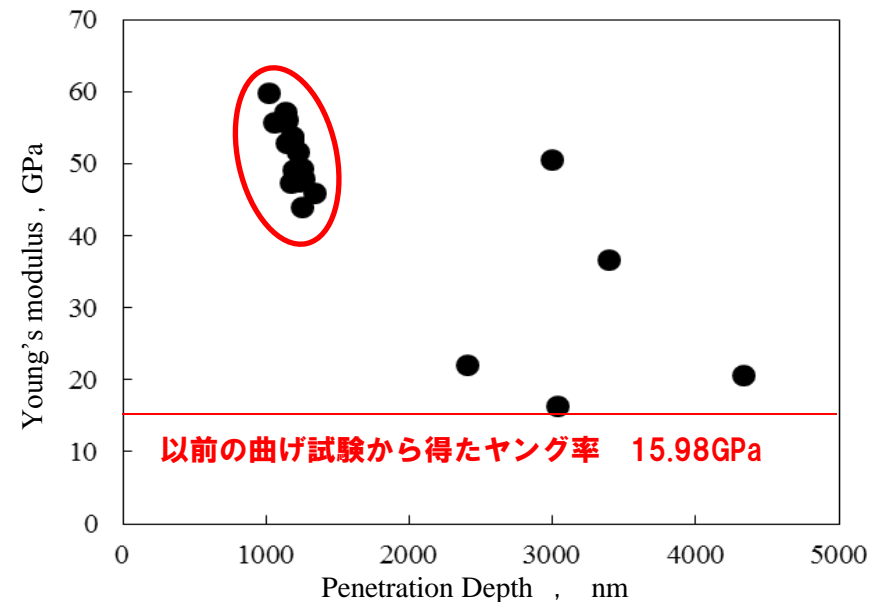
使用基板 気孔率11.1%/プラス  
ト

加圧回数 6回

PIP回数 12回



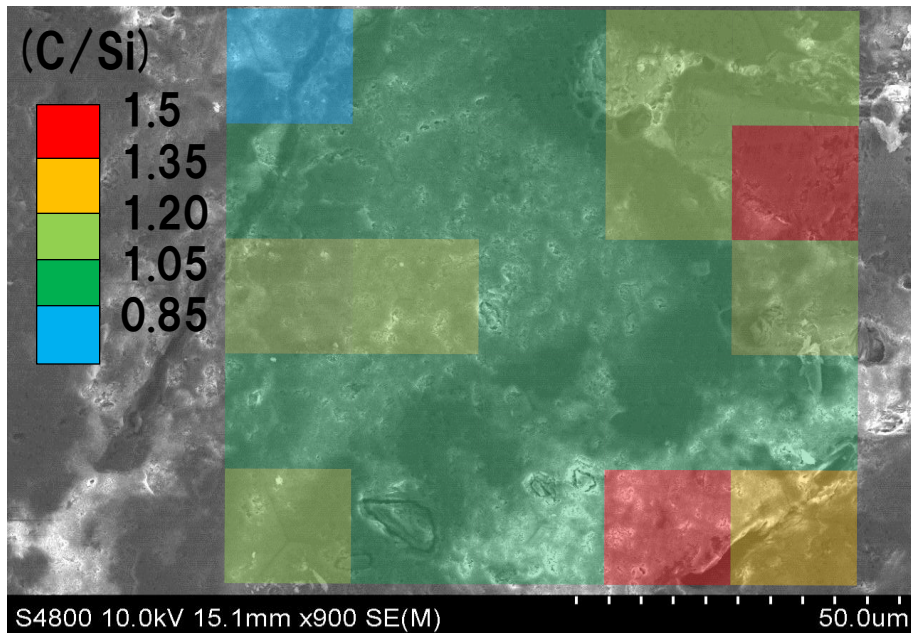
測定箇所



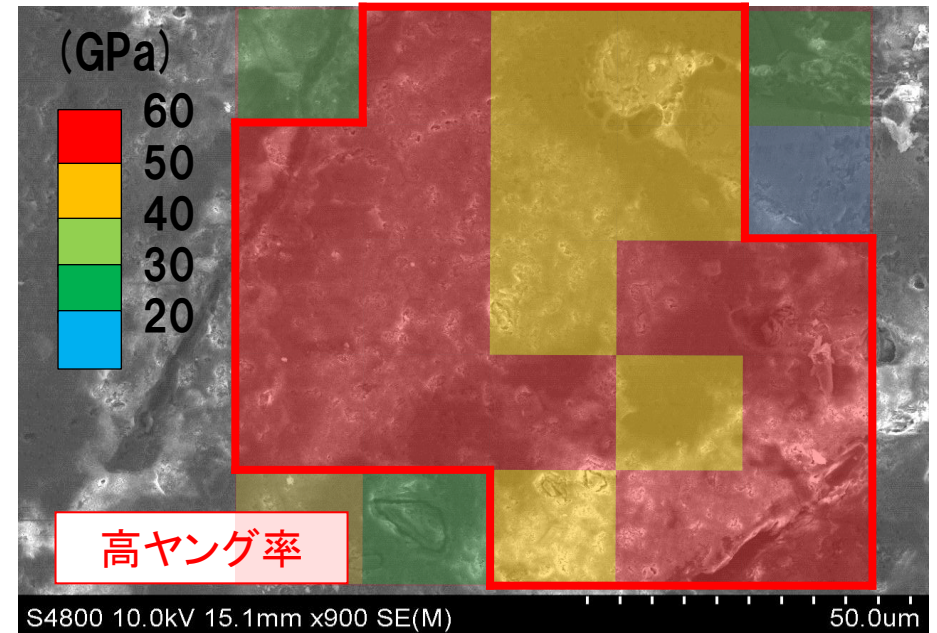
ヤング率の分布

# EDXによる組成分析のマッピング 1

## 組成の違いが成形体の特性に与える影響の調査



SiとCの組成比 (C/Si) によるマッピング

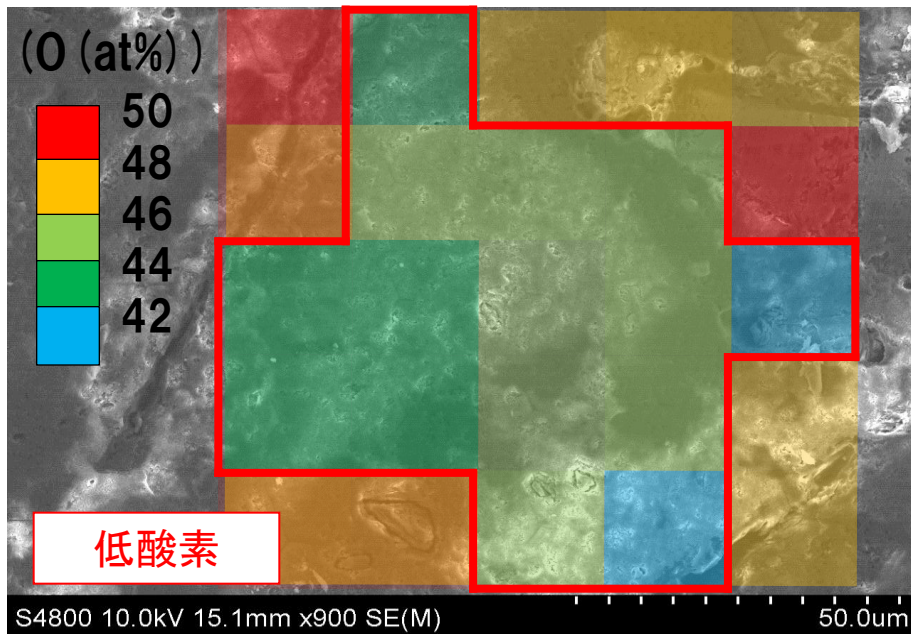


ヤング率のマッピング

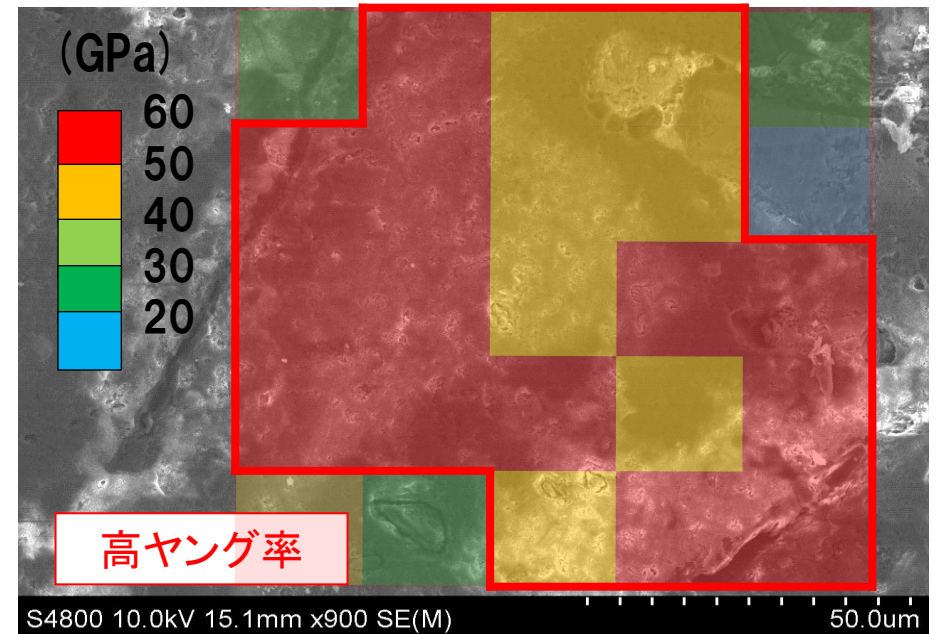
**高ヤング率, 低ヤング率域関わらず目立った傾向無し**

# EDXによる組成分析のマッピング 2

## 組成の違いが成形体の特性に与える影響の調査



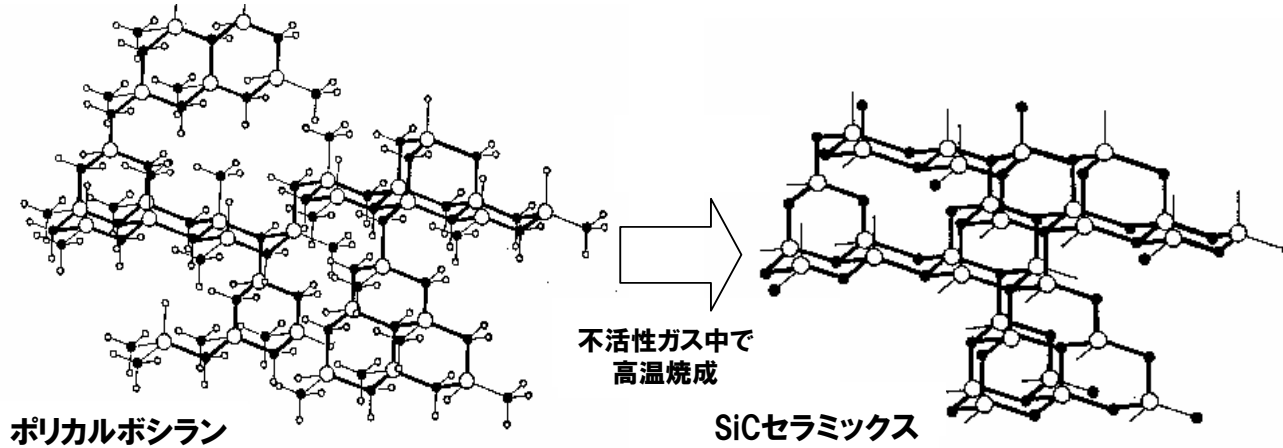
酸素含有率によるマッピング



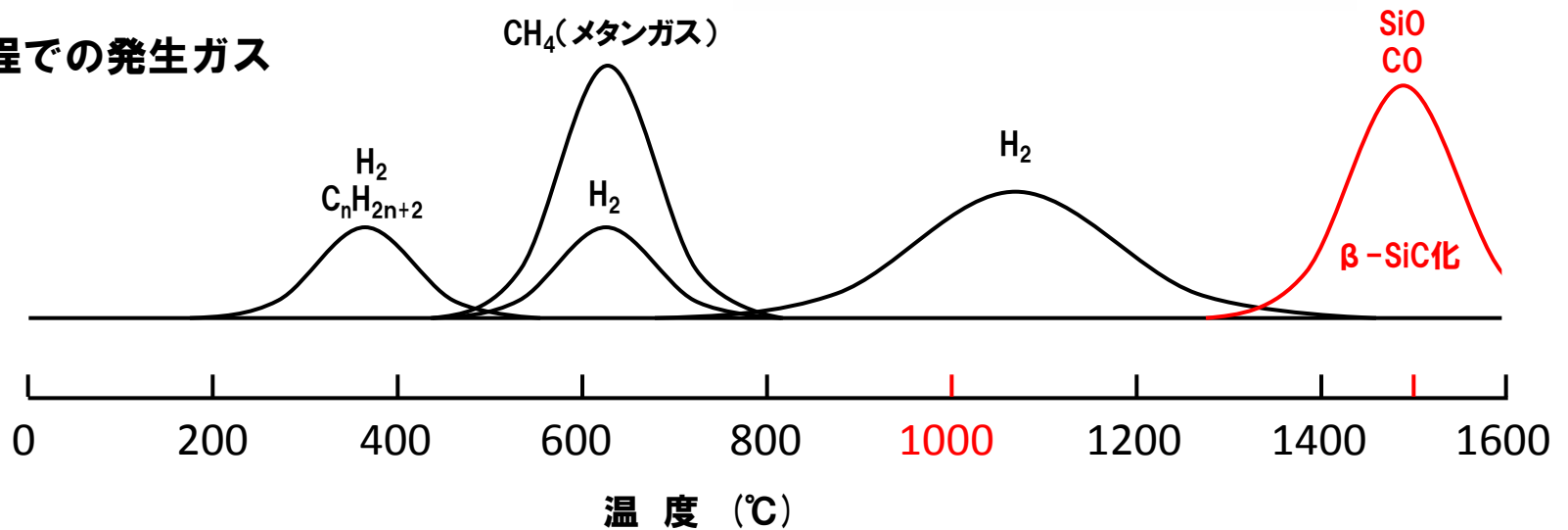
ヤング率のマッピング

高ヤング率域, 低酸素域が類似

# PCSの熱分解過程



## 熱分解過程での発生ガス



# 硬さ試験

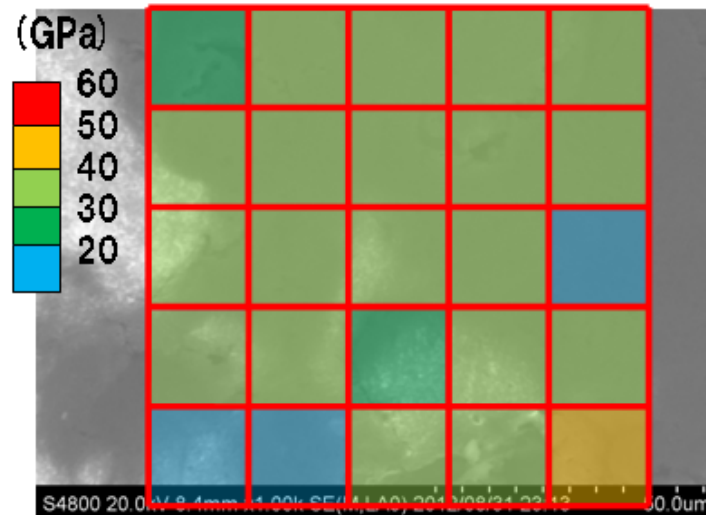
## 試験条件

荷重: 500mN, 100mN      保持時間: 1sec  
分割数: 500              測定箇所: 25 (5×5 (/20μm))  
ステップインターバル: 20msec

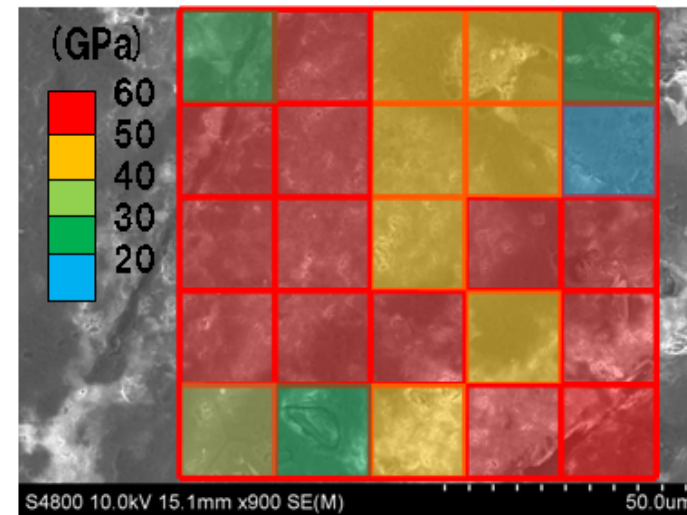
## SiC歯車作製条件

使用基板      気孔率11.1%/プラスト  
加圧回数      6回  
PIP回数      6,12回

### PIP 6回



### PIP 12回



## 測定箇所とヤング率の分布

### ヤング率の比較

**PIP6回**

平均値

**32.2GPa**

最大値

**41.35GPa**

最小値

**10.3GPa**

**PIP12回**

平均値

**49.0GPa**

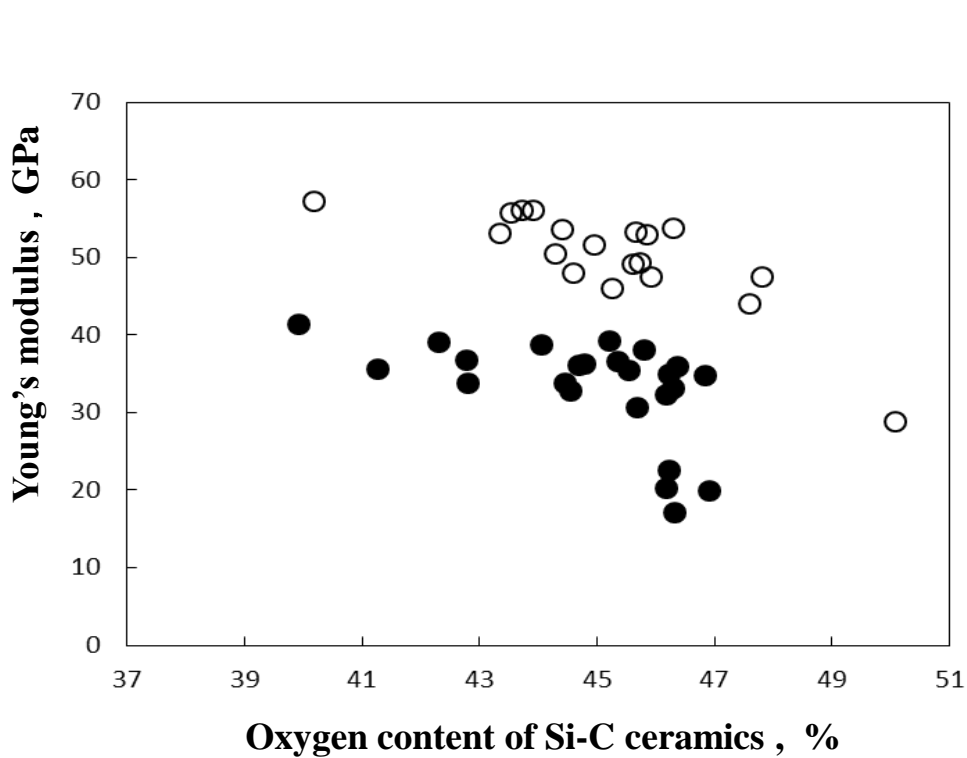
最大値

**59.9GPa**

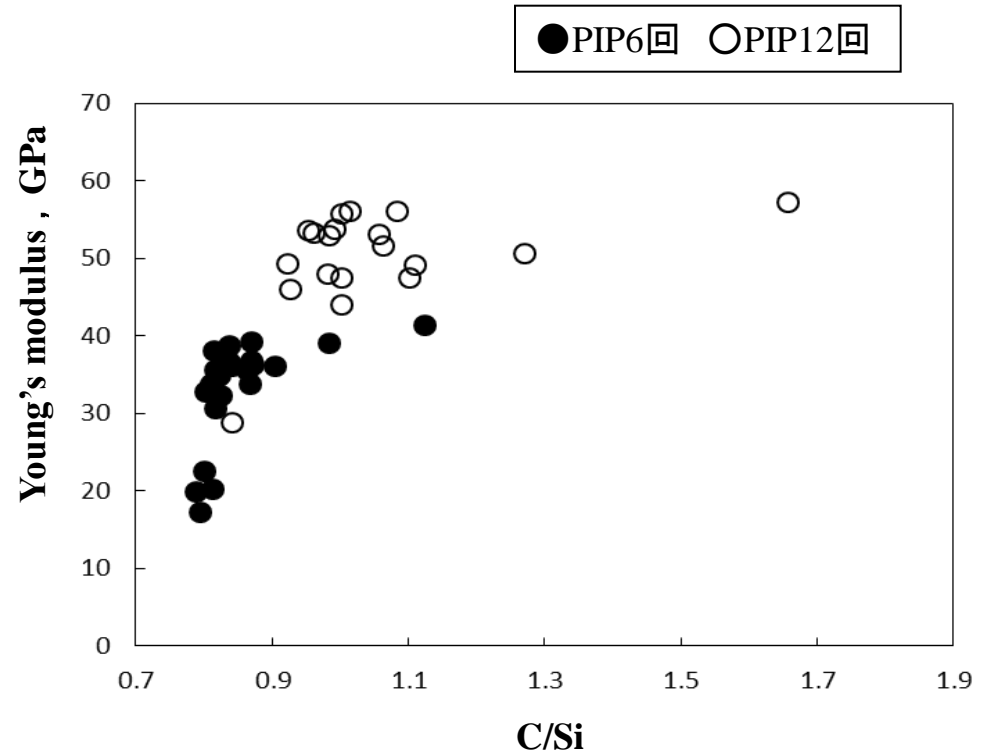
最小値

**16.3GPa**

# EDXによる組成分析



ヤング率と酸素含有率の関係



ヤング率とC/Siの関係

酸素含有量が低いほど高ヤング率

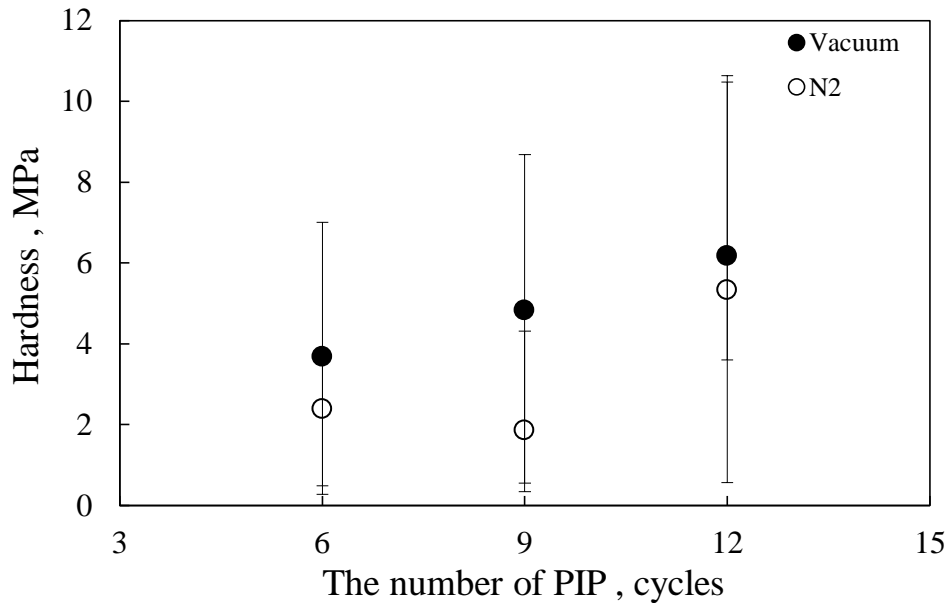
# 硬さ試験結果

## 試験条件

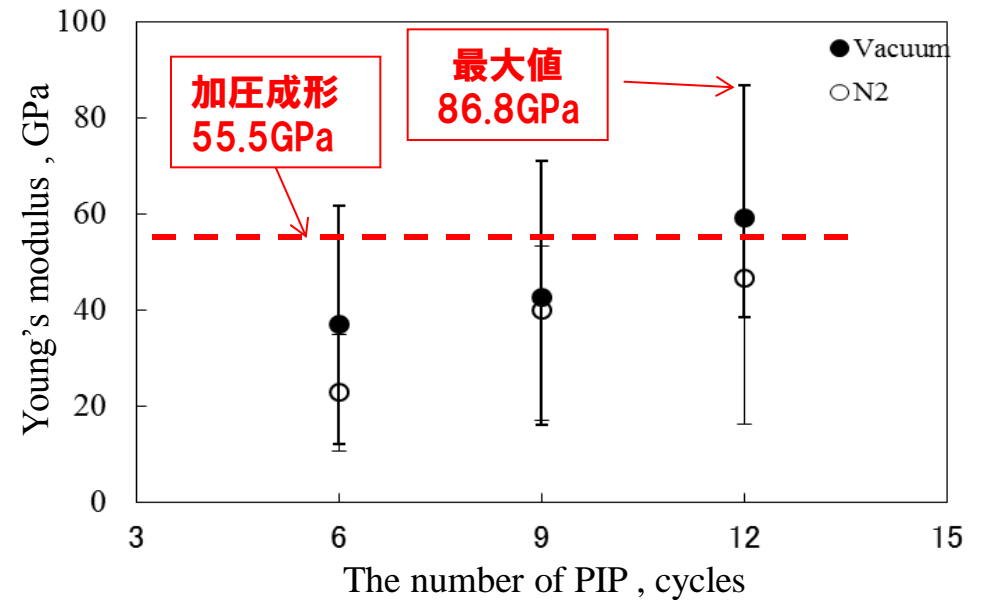
荷重：500mN, 100mN  
 分割数：500  
 ステップインターバル：20msec  
 保持時間：1sec  
 測定個所：25 (5×5 (/20μm))

## SiC歯車作製条件

使用基板 気孔率11.1%/ブラスト  
 加圧回数 6回  
 PIP回数 6, 9, 12回  
 焼成雰囲気 真空 (1.2Pa), 窒素フロー



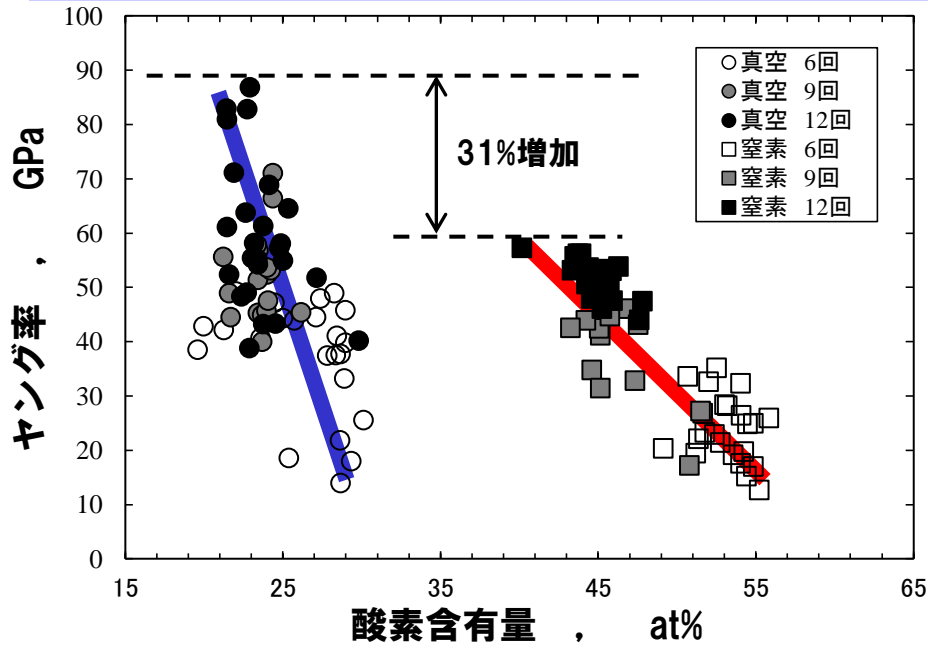
硬さとPIP回数の関係



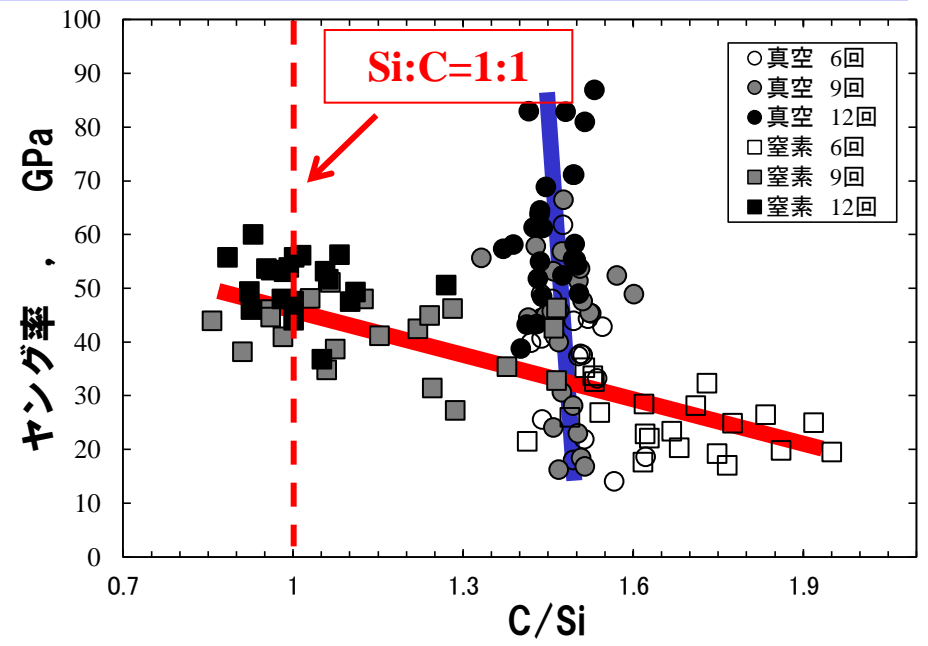
ヤング率とPIP回数の関係

**PIP回数が増加するにつれ硬さ，ヤング率が上昇**

# 硬さ試験結果, 組成分析結果



ヤング率と酸素含有量の関係



ヤング率とC/Siの関係

## 焼成中の発生ガス

